

Geburtstage, Würfel, Produkte und Karten

Einige kombinatorisch-stochastische Betrachtungen

Edgar M. E. Wermuth, Technische Hochschule Nürnberg

Copyright License: CC BY-NC-SA 4.0

In diesem Artikel, Ausarbeitung zu einem Vortrag an der TH Nürnberg (7. Nov. 2017), werden einige elementare, aber etwas kniffligere Aspekte und Beispiele aus den im Titel genannten Bereichen vorgestellt und diskutiert, die ich mir im Laufe der Zeit im Rahmen meiner Vorlesungstätigkeit hier in Nürnberg zurechtlegte. Zum Teil sind diese Überlegungen einfach dem Wunsch nach etwas interessanterem Beispielmateriale und der eigenen Neugier entsprungen, zum Teil wurden sie durch Fragen Studierender angeregt.

I. Mehrfachgeburtstage

I. a) Wir beginnen mit einem geläufigen Beispiel, dem sogenannten *Geburtstags-Paradoxon* (Richard von Mises). Eigentlich ist nichts paradox daran. Es ist eben nur etwas überraschend, dass schon bei einer recht kleinen zufällig zusammengestellten Gruppe von Leuten die Wahrscheinlichkeit, dass zwei am selben Tag Geburtstag haben, größer als 50% ausfällt. Die Wahrscheinlichkeit, dass n Personen sämtlich an *verschiedenen* Tagen Geburtstag haben, beträgt

$$w_n = \frac{365 \cdot 364 \cdots (365 - n + 1)}{365^n} = \prod_{k=1}^{n-1} \left(1 - \frac{k}{365}\right).$$

Als MAXIMA-Befehl: $w(n) := \text{product}(1 - k/365, k, 1, n-1)$; MAXIMA bestimmt die exakten *rationalen* Werte. Mit $\text{ev}(w(n), \text{float})$; ergibt sich $w_{22} \approx 0.5242$, $w_{23} \approx 0.4927$, $w_{41} \approx 0.0968$, $w_{70} \approx 0.00084$. Bei nur 23 Personen ist die Wahrscheinlichkeit mindestens eines Doppelgeburtstages erstmals $>50\%$, bei 41 Personen $>90\%$, bei 70 $>99.9\%$. Auf den ersten Blick wirklich erstaunlich.

Wir haben aber bei dieser Rechnung einen *Fehler* gemacht: Der *gregorianische Kalender*, d.h. der gelegentlich auftretende 29. Februar, wurde ignoriert. Das korrigieren wir jetzt und gehen aus von n rein zufällig zusammengestellten Personen, die alle im Zeitraum vom 01.01.1901 bis zum 31.12.2016 geboren wurden. In diesem Zeitraum gab es *alle vier Jahre* ein Schaltjahr mit einem 29. Februar; auch 2000 war – anders als 1900 und 2100 – ein Schaltjahr.

Der repräsentative sich wiederholende Zeitraum, aus dem rein zufällig die Geburtstage auszuwählen sind, umfasst nun nicht 365 Tage, sondern $4 \cdot 365 + 1$. Damit gibt es

$$A_n^0 = 4 \cdot 365 \cdot 4 \cdot 364 \cdots 4 \cdot (365 - n + 1) \quad \text{und} \quad A_n^1 = n \cdot 4 \cdot 365 \cdot 4 \cdot 364 \cdots 4 \cdot (365 - n + 2)$$

Auswahlen von n verschiedenen Geburtstagen *ohne* eine bzw. *mit* einer Person, die am 29. Februar geboren wurde. So erhalten wir („G“ stehe für *gregorianisch*, $1461 = 4 \cdot 365 + 1$)

$$w_n^G = \frac{A_n^0 + A_n^1}{1461^n} = \left(1 - \frac{3(n-1)}{1461}\right) \prod_{k=0}^{n-2} \left(1 - \frac{4k+1}{1461}\right),$$

eine fast genauso einfache Formel wie vorher. Es folgt $w_{22}^G \approx 0.5247$, $w_{23}^G \approx 0.4931$, $w_{41}^G \approx 0.0971$. Die Wahrscheinlichkeiten sind *nur geringfügig größer*; 23, 41, 70 bleiben die Anzahlen, bei denen die Doppelgeburtstags-Wahrscheinlichkeit die 50%-, die 90%- bzw. die 99.9%-Schranke übertrifft. Der Quotient w_n^G/w_n wächst monoton, aber nur *sehr langsam*:

$$w_1^G = w_1 = 1, \quad \frac{w_{n+1}^G/w_{n+1}}{w_n^G/w_n} = 1 + \frac{1}{1461} \left(\frac{365 \cdot 488}{(365-n)(488-n)} - 1 \right), \quad \frac{w_{100}^G}{w_{100}} \approx 1.02158695,$$

$$\frac{w_{101}^G w_{100}}{w_{101} w_{100}^G} \approx 1.0005.$$

Man kann natürlich noch den Einwand erheben, dass ungeprüft alle Geburtstage als gleich wahrscheinlich angenommen werden. Aber Soziobiologisches klammern wir aus; es soll hier um eine bloß *kombinatorische* Erörterung gehen.

Wir illustrieren das Geburtstags-Paradoxon anhand eines zweiten Beispiels, bei dem die Gleichwahrscheinlichkeit der Fälle wirklich unbezweifelbar gegeben ist: *Lotto-Ziehungen!*

Beim Zahlen-Lotto „6 aus 49“ gibt's bekanntlich $\binom{49}{6} = 13983816$ gleich wahrscheinliche Ziehungsergebnisse. Wie groß ist die Wahrscheinlichkeit, dass im Zeitraum vom 01.1.2017 bis zum 31.12.2060 zweimal *dasselbe Ziehungsergebnis* auftritt?

Wir setzen voraus, dass in diesem Zeitraum jeden Mittwoch und jeden Samstag eine Ziehung stattfindet. Es sind 44 Jahre, darunter 11 Schaltjahre, also

$$44 \cdot 365 + 11 = 16071 = 7 \cdot 2295.857142 \dots \text{ Tage.}$$

Da der 01.1.2017 ein Sonntag war, ist also der 31.12.2060 ein Freitag, und es gibt im ins Auge gefassten Zeitraum $2 \cdot 2295 + 1 = 4591$ Ziehungen. Die Wahrscheinlichkeit, dass diese insgesamt unterschiedlich ausfallen, ist also

$$\prod_{k=1}^{4590} \left(1 - \frac{k}{13983816} \right) = 0.47069 \dots$$

Mit Wahrscheinlichkeit 53% wird mindestens ein Ziehungsergebnis ein zweites Mal auftreten und in Zeitungsmeldungen als Sensation gefeiert werden.

Und die Wahrscheinlichkeit w , dass eine solche Ziehungs-Koinzidenz nur *genau einmal* auftritt im betrachteten Zeitraum? Für diese gilt offenbar

$$w = \binom{4591}{2} \frac{13983816 \cdot 13983815 \cdot \dots \cdot 13979227}{13983816^{4591}} = \binom{4591}{2} \prod_{k=1}^{4589} \left(1 - \frac{k}{13983816} \right) \approx 0.4961.$$

I. b) Wir diskutieren nun kombinatorisch etwas kniffligere und auch den Rechenaufwand deutlich hochschraubende Fragen: die Wahrscheinlichkeit von *Dreifach- und Vierfach-Geburtstagen*.

Einfachheitshalber lassen wir den Sonderfall des 29. Februars unberücksichtigt; zunächst jedenfalls.

Wie groß ist die Wahrscheinlichkeit, dass von n Personen mindestens *drei* am selben Tag Geburtstag haben?

Es ist wieder einfacher, erst einmal *Gegen*-Anzahlen, also die Anzahl der Fälle mit höchstens zweifach auftretenden gleichen Geburtstagen zu bestimmen. Das sind alle diejenigen Konstellationen, bei denen *entweder* alle Geburtstage verschieden sind – *oder* aber k Geburtstage doppelt auftreten ($1 \leq k \leq \lfloor n/2 \rfloor$), kombiniert mit $n - 2k$ weiteren Einzelgeburtstagen.

Es gibt $\sum_{k=0}^{\lfloor n/2 \rfloor} \binom{n}{2k} \frac{(2k)!}{2^k \cdot k!} \prod_{i=0}^{n-k-1} (365 - i)$ Fälle mit 0 bis $\lfloor \frac{n}{2} \rfloor$ Doppelgeburtstagen.

Begründung: Wähle $2k$ der Personen 1 bis n aus, die Doppelgeburtstage haben; dann Paarnummern $(1), \dots, (k)$ zweimal zuordnen, Austausch der Paar-Partner und Ummumerierung ergibt *dieselbe* Paarverteilung; dann den Paaren wie den Einzelnen der Reihe nach insgesamt $n - k$ verschiedene Geburtstage zuordnen.

Als Wahrscheinlichkeit *mindestens eines* Dreifachgeburtstages folgt

$$w_3(n) = 1 - \sum_{k=0}^{\lfloor n/2 \rfloor} \binom{n}{2k} \prod_{i=1}^k \frac{2i-1}{365} \prod_{i=1}^{n-k-1} \left(1 - \frac{i}{365}\right) = 1 - w_n \sum_{k=0}^{\lfloor n/2 \rfloor} \binom{n}{2k} \prod_{i=1}^k \frac{2i-1}{365 - (n-i)}$$

Die effizientere zweite Variante der Formel gilt nur für $w_n > 0$, also $n \leq 365$. Es gilt aber schon $w_3(300) \approx 0.99999999997$, so dass nur viel kleinere n interessieren. Schon bei 194 Personen übertrifft die Wahrscheinlichkeit erstmals die 99.9%-Schranke. Eine Tabelle einiger Werte:

n	46	47	87	88	100	131	132	168	194	214
$w_3(n)$	0.09996	0.1062	0.499	0.511	0.64586	0.896	0.9014	0.9902	.999078	.999904

Aus $w_3(250) \approx 0.99999946$ folgt, dass unter 2 Millionen Hochschulen mit mindestens 250 Professorinnen und Professoren nur eine *nicht* drei Dozenten mit demselben Geburtstag hat, d.h. höchstwahrscheinlich *keine* auf diesem Planeten.

Nun diskutieren wir den Fall des Auftretens von *Vierfach*-Geburtstagen.

Dazu bestimmen wir, bei insgesamt n Personen, die Anzahl aller Geburtstagsverteilungen mit j Doppelgeburtstagen und k Dreifachgeburtstagen, wobei natürlich gelten muss: $0 \leq j \leq \lfloor n/2 \rfloor$, $0 \leq k \leq \lfloor (n - 2j)/3 \rfloor$.

Wir wählen zuerst $2j$ Personen aus für die Paarbildung und dann von den verbliebenen $n - 2j$ Personen weitere $3k$ für die Bildung von Geburtstags-Tripeln. Das ergibt $\binom{n}{2j} \binom{n-2j}{3k}$ verschiedene Auswahlmöglichkeiten. Nun sind noch die dabei möglichen verschiedenen Paar- und Tripel-Bildungen zu zählen. Die Anzahl der Paare ist $1 \cdot 3 \cdot 5 \cdots (2j-1)$ wie im Fall vorher. Den $3k$ Personen werden die Tripel-Label (1) bis (k) jeweils dreimal zugeordnet; da eine Permutation gleicher Label untereinander (jeweils $3!$ Möglichkeiten) und eine Ummumerierung der Tripel ($k!$ Möglichkeiten) die Tripel-Gesamtheit nicht ändern, gibt es $\frac{(3k)!}{6^k k!}$ verschiedene Tripel bei gegebener Gruppe von $3k$ Personen.

Nun sind noch j Zweifach-, k Dreifach- und $n - 2j - 3k$ Einfachgeburtstags-Daten, also insgesamt $n - j - 2k$ verschiedene Geburtstagsdaten den (z.B. lexikografisch) aufgelisteten

Paaren, Tripeln und Einzelnen zuzuordnen. Die Anzahl der Geburtstagsverteilungen ohne Vierfachgeburtstage ist somit

$$\sum_{j=0}^{\lfloor n/2 \rfloor} \binom{n}{2j} \frac{(2j)!}{2^j j!} \sum_{k=0}^{\lfloor (n-2j)/3 \rfloor} \binom{n-2j}{3k} \frac{(3k)!}{6^k k!} \prod_{i=0}^{n-j-2k-1} (365-i).$$

Als Wahrscheinlichkeit mindestens eines Vierfachgeburtstages ergibt sich

$$w_4(n) = 1 - \sum_{j=0}^{\lfloor n/2 \rfloor} \binom{n}{2j} \prod_{\iota=1}^j \frac{2\iota-1}{365} \sum_{k=0}^{\lfloor (n-2j)/3 \rfloor} \binom{n-2j}{3k} \prod_{\kappa=1}^k \frac{(3\kappa-2)(3\kappa-1)}{2 \cdot 365^2} \prod_{\lambda=1}^{n-j-2k-1} \left(1 - \frac{\lambda}{365}\right)$$

oder (beachte $\prod_{1 \leq i \leq n-j-2k-1} \left(1 - \frac{i}{365}\right) = \prod_{1 \leq i \leq n-1} / \left(\prod_{n-j \leq i \leq n-1} \cdot \prod_{n-j-2k \leq i \leq n-j-1} \right)$ im Falle $n \leq 365$)

$$w_4(n) = 1 - w_n \sum_{j=0}^{\lfloor n/2 \rfloor} \binom{n}{2j} \prod_{\iota=1}^j \frac{2\iota-1}{365-(n-\iota)} \sum_{k=0}^{\lfloor (n-2j)/3 \rfloor} \binom{n-2j}{3k} \prod_{\kappa=1}^k \frac{(3\kappa-2)(3\kappa-1)}{2(365-(n-j-\kappa))(365-(n-j-k-\kappa))}$$

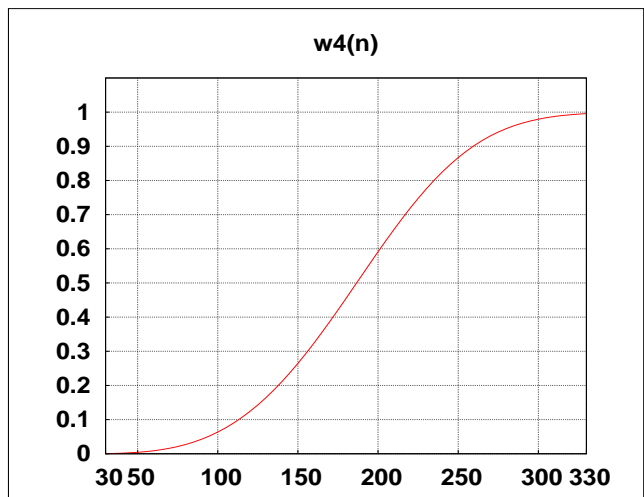
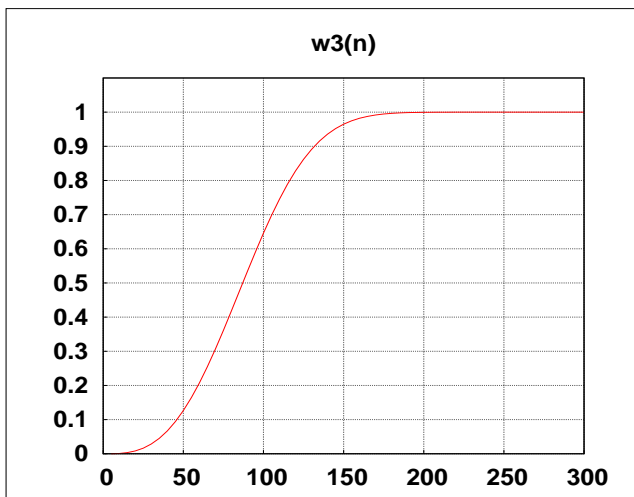
Eine Formel, deren Auswertung schon einigen Aufwand erfordert. Mit MAXIMA ist das kein Problem auf heutigen PCs, wenn auch die Rechendauer bei größeren n rasch anwächst. Die zweite Fassung, allerdings nur für $n \leq 365$ gültig, ist die deutlich effizientere. Wertetabelle:

n	40	50	75	100	114	150	187	200	250	260
$w_4(n)$	0.0017	0.0043	0.0212	0.0636	0.103	.2646	.5027	.591	.867	.90215

Ist die Anzahl der Personen also kaum mehr als halb so groß wie das Jahr Tage hat, ist die Wahrscheinlichkeit von Vierfachgeburtstagen > 0.5 ; $w_4(315) \approx 0.9901$, $w_4(365) \approx 0.99958$, und die Berechnung von $w_4(400) \approx 0.9999783$ (erste Formel!) dauerte schon 189.3 Sekunden.

Gerd Riehl, *Alte Geburtstagsprobleme – neu gelöst*, Math. Semesterber. (2014), 61:215-231, diskutiert Algorithmen zur Berechnung von Mehrfachgeburtstags-Wahrscheinlichkeiten. Unsere Überlegungen entstanden *unabhängig* von diesem Artikel und auch von der dort genannten weiteren Literatur zum Thema. Die hier angegebenen Formeln werden in Riehls Artikel nicht explizit genannt, und der 29. Februar wird bei Riehl grundsätzlich ausgeklammert. In Riehls Tabelle, a.a.O. S.231, bleibt eine ganze Reihe der hier berechneten Wahrscheinlichkeiten und Anzahlen (alle fett hervorgehobenen) ungenannt, weil nach Angaben des Autors die Kapazität des eingesetzten Computers überfordert war. Von mir wurde ein simpler PC aus dem Jahre 2012 benutzt und MAXIMA, ein in Lisp programmierter Interpreter, keine Number-Crunching-Plattform.

Die Erstellung der folgenden beiden Plots mit MAXIMA benötigte ca. 24 bzw. 1270 Sekunden.



Die verwendeten MAXIMA-Befehle:

```
w(n) := product(1-k/365, k, 1, n-1);    w2(n) := 1-w(n);
```

```
w3(n) := 1-sum(
    binomial(n, 2*k) * product((2*i-1)/365, i, 1, k) *
    product(1-i/365, i, 1, n-k-1),
    k, 0, floor(n/2));
```

```
w3a(n) := 1-w(n)*sum(
    binomial(n, 2*k) * product((2*i-1)/(365-(n-i)), i, 1, k),
    k, 0, floor(n/2));
```

```
w4(n) := 1-sum(
    binomial(n, 2*j) * product((2*i-1)/365, i, 1, j) *
    sum(
        binomial(n-2*j, 3*k) * product((3*i-2)*(3*i-1)/(2*365^2), i, 1, k) *
        product(1-i/365, i, 1, n-j-2*k-1),
        k, 0, floor((n-2*j)/3)),
    j, 0, floor(n/2));
```

```
w4a(n) := 1-w(n)*sum(
    binomial(n, 2*j) * product((2*i-1)/(365-(n-i)), i, 1, j) *
    sum(
        binomial(n-2*j, 3*k) * product((3*i-2)*(3*i-1)/
        (2*(365-(n-j-i))*(365-(n-j-k-i))), i, 1, k),
        k, 0, floor((n-2*j)/3)),
    j, 0, floor(n/2));
```

```
load(draw);
```

```
draw2d(grid=true, dimensions=[1800, 1500],
```

```

point_type=dot, points_joined=true,color=red,
points(makelist(5*i,i,1,60),makelist(w3a(5*i),i,1,60)),
yrange=[0.0,1.1],ytics={0.0,0.1,0.2,0.3,0.4,0.5,0.6,0.7,0.8,0.9,1.0},
xrange=[0,300],font="Helvetica-Bold",font_size=40,
title="w3(n)",xlabel="",ylabel="",terminal='eps,
file_name="/home/emew/Dokumente/Geburtstage_u_Co_Juli2017/fig1");

```

I. c) Nun die analogen Formeln für *Fünffach*-Geburtstage. Der praktische Rechenaufwand wird dabei natürlich noch einmal *deutlich* ansteigen.

Wir ermitteln wieder zuerst die *Gegen*-Anzahl, also jetzt die aller Geburtstagsverteilungen *ohne* Fünffach-Geburtstage.

Bei insgesamt n Personen geht's um die Anzahl aller Geburtstagsverteilungen mit j Doppelgeburtstagen, k Dreifachgeburtstagen und l Vierfachgeburtstagen, wobei gelten muss: $0 \leq j \leq \lfloor n/2 \rfloor$, $0 \leq k \leq \lfloor (n-2j)/3 \rfloor$, $0 \leq l \leq \lfloor (n-2j-3k)/4 \rfloor$.

Es gibt $\binom{n}{2j} \binom{n-2j}{3k} \binom{n-2j-3k}{4l}$ verschiedene Möglichkeiten, bei gegebenen j , k und l die Paar-, Tripel- und Quadrupel-Plätze auszuwählen. Die Anzahlen dabei möglicher verschiedener Paare und Tripel kennen wir schon: $\frac{(2j)!}{2^j j!}$ bzw. $\frac{(3k)!}{6^k k!}$. Analog ergibt sich als Anzahl

verschiedener Quadrupel $\frac{(4l)!}{24^l l!}$.

Den Paaren, Tripeln und Quadrupeln sind $j + k + l + (n - 2j - 3k - 4l) = n - j - 2k - 3l$ verschiedene Geburtstage zuzuordnen. Daraus resultieren insgesamt

$$\sum_{j=0}^{\lfloor n/2 \rfloor} \binom{n}{2j} \frac{(2j)!}{2^j j!} \sum_{k=0}^{\lfloor (n-2j)/3 \rfloor} \binom{n-2j}{3k} \frac{(3k)!}{6^k k!} \sum_{l=0}^{\lfloor (n-2j-3k)/4 \rfloor} \binom{n-2j-3k}{4l} \frac{(4l)!}{24^l l!} \prod_{i=0}^{n-j-2k-3l-1} (365 - i)$$

Geburtstagsverteilungen ohne Fünffach-Geburtstage; daher:

$$w_5(n) = 1 - \sum_{j=0}^{\lfloor n/2 \rfloor} \binom{n}{2j} \prod_{i=1}^j \frac{2i-1}{365} \sum_{k=0}^{\lfloor (n-2j)/3 \rfloor} \binom{n-2j}{3k} \prod_{\kappa=1}^k \frac{(3\kappa-2)(3\kappa-1)}{2 \cdot 365^2} \sum_{l=0}^{\lfloor (n-2j-3k)/4 \rfloor} \binom{n-2j-3k}{4l} \prod_{\lambda=1}^l \frac{(4\lambda-3)(4\lambda-2)(4\lambda-1)}{6 \cdot 365^3} \prod_{\mu=1}^{n-j-2k-3l-1} \left(1 - \frac{\mu}{365}\right)$$

Mit

$$p_1(j) := \prod_{i=1}^j \frac{2i-1}{365}, \quad p_2(k) := \prod_{\kappa=1}^k \frac{(3\kappa-2)(3\kappa-1)}{2 \cdot 365^2}, \quad p_3(l) := \prod_{\lambda=1}^l \frac{(4\lambda-3)(4\lambda-2)(4\lambda-1)}{6 \cdot 365^3}$$

und $p_0(m) := \prod_{\mu=1}^m \left(1 - \frac{\mu}{365}\right)$ ergibt sich die etwas übersichtlichere Darstellung

$$w_5(n) = 1 - \sum_{j=0}^{\lfloor n/2 \rfloor} \binom{n}{2j} p_1(j) \sum_{k=0}^{\lfloor (n-2j)/3 \rfloor} \binom{n-2j}{3k} p_2(k) \sum_{l=0}^{\lfloor (n-2j-3k)/4 \rfloor} \binom{n-2j-3k}{4l} p_3(l) p_0(n-j-2k-3l-1)$$

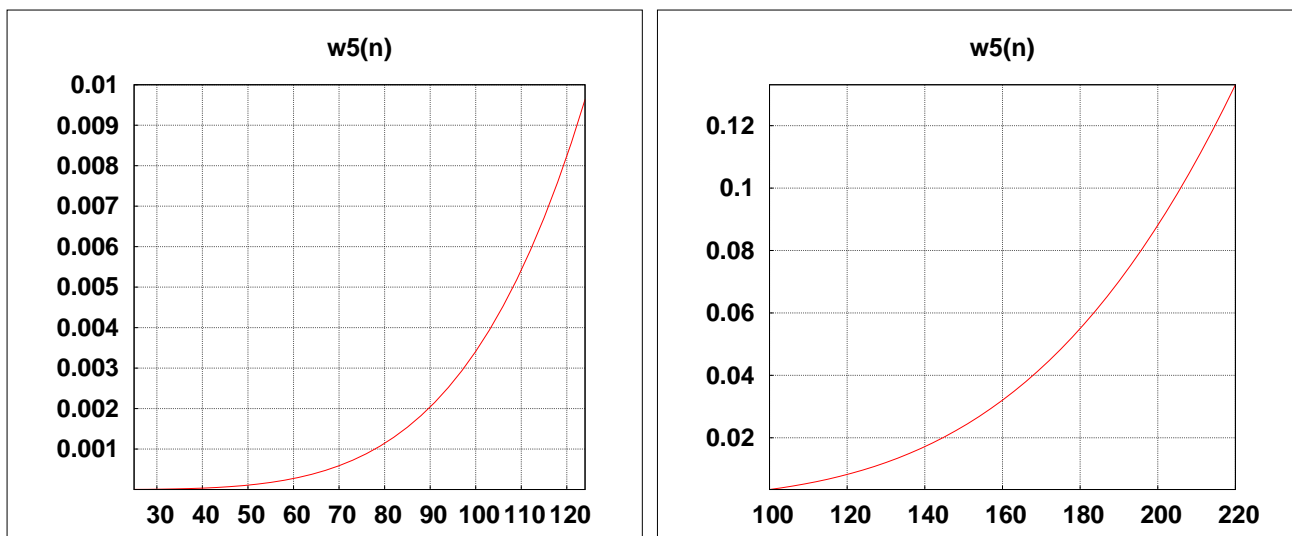
Die Verallgemeinerung auf m-fache Geburtstage ist offensichtlich; dabei kommen dann auch

$$p_4(k) = \prod_{i=1}^k \frac{(5i-4)(5i-3)(5i-2)(5i-1)}{24 \cdot 365^4}, p_5(k), \dots \text{ ins Spiel.}$$

Der Aufwand bei den Auswertungen der w_5 -Formel wird etwas im Zaum gehalten durch *Vorab-Berechnung* der Faktoren $p_1(j)$ ($0 \leq j \leq n/2$), $p_2(k)$ ($0 \leq k \leq n/3$), $p_3(l)$ ($0 \leq l \leq n/4$) sowie $p_0(k)$, die dann nur noch aufgerufen werden.

Der *einzig*e Wert, der im zitierten Artikel von Riehl angegeben ist, ist das kleinste n , für welches $w_5(n) > 0.01$. Es ist $w_5(124) \approx 0.009636$, $w_5(125) \approx 0.010013$.

Wir stellen einige Rechenergebnisse grafisch dar:



Die erste MAXIMA-Grafik zeigt die Werte von $w_5(n)$ für $25 \leq n \leq 124$. Wegen $w_5(25) \approx 0.0000028597435$ sind kleinere n uninteressant. Die Erstellung der zweiten Grafik mit den 41 $w_5(n)$ -Werten für $n = 100 + 3k$ ($0 \leq k \leq 40$) erforderte ca. 560 Sekunden; $w_5(206) \approx 0.1002585944$. Das kleinste n mit $w_5(n) \geq 0.5$ ist 313, da $w_5(313) \approx 0.50107$, $w_5(312) \approx 0.49619557$. Ferner $w_5(348) \approx 0.66887$, $w_5(347) \approx 0.664$.

Der MAXIMA-Code zu obigen Grafiken:

```
p1(k):=product((2*i-1)/365,i,1,k);    p2(k):=product((3*i-2)*(3*i-1)/(2*365^2),i,1,k);
p3(k):=product((4*i-3)*(4*i-2)*(4*i-1)/(6*365^3),i,1,k);  p0(k):=product(1-i/365,i,0,k);
```

```
A:makelist(ev(p1(k),bfloat),k,0,300)$    B:makelist(ev(p2(k),bfloat),k,0,200)$
C:makelist(ev(p3(k),bfloat),k,0,150)$    D:makelist(ev(p0(k),bfloat),k,0,600)$
```

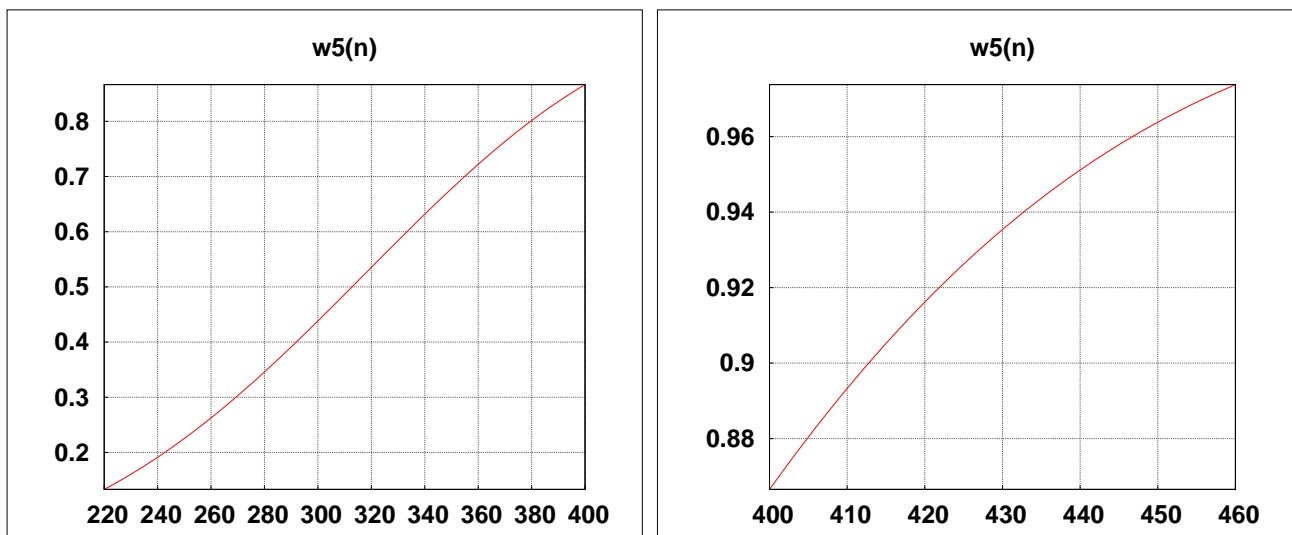
```
w5(n):=1-sum(binomial(n,2*j)*A[j+1]*
            sum(binomial(n-2*j,3*k)*B[k+1]*
                sum(binomial(n-2*j-3*k,4*1)*C[l+1]*D[n-j-2*k-3*1],
                    1,0,floor((n-2*j-3*k)/4)),
                k,0,floor((n-2*j)/3)),j,
            j,0,floor(n/2));
```

```
load(draw);
```

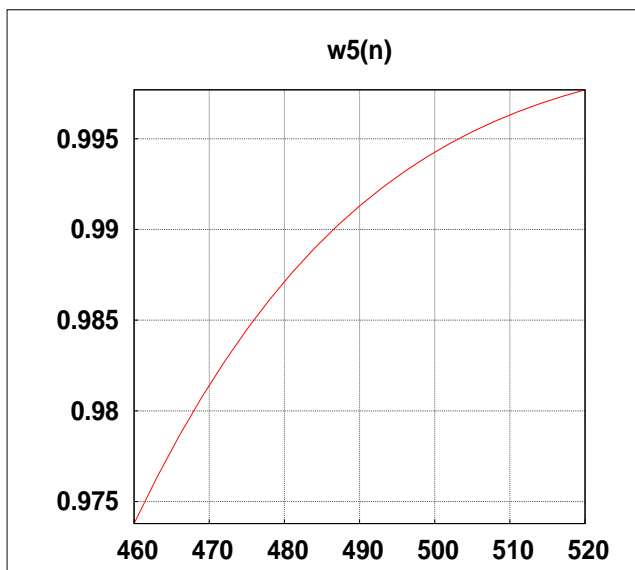
```
draw2d(grid=true,dimensions=[1800,1500],point_type=dot,points_joined=true,color=red,
points(makelist(100+3*i,i,0,40),makelist(w5(100+3*i),i,0,40)),
title="w5(n)",xlabel="",ylabel="",terminal='eps',
font="Helvetica-Bold",font_size=30,
file_name="/home/emew/Dokumente/Geburtstage_u_Co_Juli2017/fig4");
```

```
draw2d(grid=true,dimensions=[1800,1500],point_type=dot,points_joined=true,color=red,
points(makelist(25+3*i,i,0,33),makelist(w5(25+3*i),i,0,33)),yrange=[0,0.01],
ytics={0.001,0.002,0.003,0.004,0.005,0.006,0.007,0.008,0.009,0.01},
title="w5(n)",xlabel="",ylabel="",terminal='eps',
font="Helvetica-Bold",font_size=30,
file_name="/home/emew/Dokumente/Geburtstage_u_Co_Juli2017/fig3");
```

Mit doch schon beträchtlichem Zeitaufwand können wir auch den weiteren Verlauf von w_5 berechnen und grafisch darstellen:



Für's erste Bild ($w_5(220+3k)$ ($0 \leq k \leq 60$)) benötigte MAXIMA ca. 7570 Sekunden, für's zweite 7535 ($w_5(400+3i)$ ($0 \leq i \leq 20$)) und für's dritte ($w_5(460+3i)$ ($0 \leq i \leq 20$)) rund 12135.



$w_5(413) \approx 0.9005775$, $w_5(412) \approx 0.89819$,
ferner $w_5(486) \approx 0.98979$ und $w_5(487) \approx 0.9901886$;
schließlich $w_5(536) \approx .998978$,
 $w_5(537) \approx 0.99903$. Schon $w_5(487)$ und
 $w_5(537)$ allein benötigen rund 565 bzw. 810
Sekunden an Rechenzeit.

Angesichts des doch sehr großen Rechenzeit-
Bedarfs (Verwendung einfacher *Floats* statt *Big
Floats* ergäbe weniger als 15% Verkürzung) wäre
es vielleicht besser, bei den w_5 -Berechnungen mit
einem echten Numerik-System wie z.B. SCILAB
zu arbeiten. (Benutzte Software: MAXIMA
5.38.1, Linux OpenSuse 42.2; Hardware: einfacher
Standard-PC, Baujahr 2012.)

Eine zusammenfassende Anzahl-Tabelle zu den $w_k(n)$:

$n_{k,\alpha} := \min\{n \in \mathbb{N} \mid w_k(n) \geq \alpha\}$						
α	0.01	0.1	0.5	0.9	0.99	0.999
$k = 2$	4	10	23	41	57	70
$k = 3$	22	47	88	132	168	194
$k = 4$	62	114	187	260	315	353
$k = 5$	125	206	313	413	487	537

(Alle Anzahlen > 125 , also zwei Drittel der nichttrivialen Werte ($k > 2$), blieben im zitierten Artikel von G. Riehl offen.)

I. d) Die generelle Berücksichtigung des *29. Februars*.

Zunächst noch einmal der Fall von *Doppelgeburtstagen*. Mit der Wahrscheinlichkeit p einer Geburt am 29.02. gilt $w_n^G = (1-p)^n w_n + np(1-p)^{n-1} w_{n-1}$.

Für $p = 1/1461$ stimmt diese Formel *exakt* mit der früheren überein. Man kann durch andere p -Wahl sich leicht an eine Auswahl z.B. von zwischen 1880 und 1910 Geborenen anpassen. (Wichtig ist, das Zufallsexperiment *präzise zu definieren*: „eine rein zufällige Auswahl von Personen, die im Zeitraum von t_1 bis t_2 geboren sind...“.) Für das Verhältnis zu w_n folgt

$$w_n^G/w_n = (1-p)^{n-1} \left(1 + \frac{p(n-1)}{1-n/366}\right) > (1-(n-1)p) \left(1 + \frac{p(n-1)}{1-n/366}\right) = 1 + \frac{(n-1)p(n/366 - (n-1)p)}{1-n/366}.$$

Nun zum Allgemeinfeld. Folgende Ereignisse spielen eine Rolle:

F_k : „ k von n Personen haben am 29. Februar Geburtstag“;

$\leq k$: „höchstens k -fache Geburtstage bei einer Gruppe von n Personen“;

$\geq k$: „mindestens ein k -facher Geburtstag bei einer Gruppe von n Personen“.

Dann gilt offenbar (wobei $p = \frac{0.2425}{365.2425} = \frac{97}{400 \cdot 365 + 97}$ bei *gregorianischem* Auswahlzeitraum von 400 Jahren und $p = 1/1461$ bei *julianischer* Schaltung im Auswahlzeitraum)

$$P(F_k) = \binom{n}{k} p^k (1-p)^{n-k} \quad (0 \leq k \leq n), \quad P(\leq k \mid F_i) = 1 - w_{k+1}(n-i) \quad (i \leq k).$$

Beispielsweise die „gregorianische“ Formel für die Wahrscheinlichkeit mindestens eines *Dreifach*-Geburtstags ist (Formel von der totalen Wahrscheinlichkeit)

$$P(\geq 3) = 1 - P(\leq 2 \mid F_0) \cdot P(F_0) - P(\leq 2 \mid F_1) \cdot P(F_1) - P(\leq 2 \mid F_2) \cdot P(F_2).$$

und daher

$$w_3^G(n) = 1 - (1-p)^n (1-w_3(n)) - np(1-p)^{n-1} (1-w_3(n-1)) - \frac{n(n-1)}{2} p^2 (1-p)^{n-2} (1-w_3(n-2))$$

Völlig analog ergeben sich in allen anderen Fällen mehrfacher Geburtstags-Koinzidenzen die gregorianischen Formeln aus den schalttagfreien.

$n_{k,\alpha}^G := \min\{n \in \mathbb{N} \mid w_k^G(n) \geq \alpha\}$						
α	0.01	0.1	0.5	0.9	0.99	0.999
$k = 2$	4	10	23	41	57	70
$k = 3$	22	47	88	132	168	194
$k = 4$	62	114	187	260	315	354
$k = 5$	126	206	313	413	487	537

Dabei $p = 1/1461$. Nur *zwei* Tabellenwerte unterscheiden sich von den entsprechenden schalttagfreien, sind um 1 größer: $w_5^G(125) \approx 0.009980994$, $w_5^G(126) \approx 0.010368$, $w_5(125) \approx 0.010013$; $w_4^G(353) \approx 0.99899$, $w_4^G(354) \approx 0.999058$, $w_4(353) \approx 0.999007595$.

Noch ein paar naheliegende Anmerkungen zur *Monotonie* der Wahrscheinlichkeiten $w_k(n)$ und $w_k^G(n)$.

Bei den Gegenwahrscheinlichkeiten $w_n = 1 - w_2(n)$ und $w_n^G = 1 - w_2^G(n)$ ist unmittelbar die fallende Monotonie abzulesen, und auch $w_2(n) > w_2^G(n)$ ist klar, da offenbar $w_n^G/w_n > 1$ im relevanten Bereich $n \leq 365$.

Die angegebenen Formeln für $w_3(n), w_3^G(n), w_4(n), \dots$ hingegen sind zu verwickelt, um die Monotonie unmittelbar abzulesen.

Wir können aber die Monotonie ganz einfach *kombinatorisch* erschließen:

Sei $A_k(n)$ die Anzahl der Geburtstagsverteilungen für n Personen mit mindestens einem k -fachen Geburtstag (sogenannte *k-Verteilungen*). Ordnen wir einer $(n + 1)$ -ten Person irgendeinen Geburtstag zu, erhalten wir aus jeder k -Verteilung für n Personen eine k -Verteilung für $n + 1$ Personen.

Es folgt also offensichtlich $A_k(n + 1) > 365 \cdot A_k(n)$, da ja auch aus manchen Nicht- k -Verteilungen durch die Hinzunahme des $(n + 1)$ -ten Geburtstags k -Verteilungen werden.

$$\text{Also } w_k(n + 1) = \frac{A_k(n + 1)}{365^{n+1}} > w_k(n).$$

Dieses Argument, mit 1461 anstelle von 365, funktioniert auch im Falle „julianisch“ korrigierter Wahrscheinlichkeitsberechnungen.

Hat man einen *beliebigen* Zeitraum, aus dem irgendwelche n gleichwahrscheinlichen Geburtstage ausgewählt sind, hat nicht nur der 29. Februar eine abweichende Wahrscheinlichkeit.

Z.B. bei einem Zeitraum, der am 01.3. eines Jahres beginnt und am 30.7. etliche Jahre später endet, sind Geburtstage vom 01.3. bis 30.7. geringfügig wahrscheinlicher als Geburtstage im Januar und Februar bzw. im August bis Dezember.

Davon ausgehend, dass jeder Tag des Gesamtzeitraumes gleichwahrscheinlich als Geburtstag infragekommt, kann man mit der *Gesamtanzahl* der Tage anstelle von 365 genauso kombinatorisch argumentieren. Denn trivialerweise gilt weiterhin: Jede k -Verteilung von n Geburtstagen ergibt durch Hinzufügen *irgendeines* weiteren Geburtstages eine k -Verteilung von $n + 1$ Geburtstagen. Also gilt ganz allgemein $w_k^G(n + 1) > w_k^G(n)$.

II. Würfel-Wahrscheinlichkeiten

II. a) Zuerst befassen wir uns mit den Wahrscheinlichkeiten für die einzelnen erzielbaren Augenzahlen beim *Würfeln mit mehreren gleichen Würfeln*.

Im Falle *zweier* Würfel ist es ein kombinatorisch trivialer Sachverhalt:

Ist $X_2 \in \{2, 3, \dots, 12\}$ die zugehörige Augenzahl, gilt $P(X_2 = k) = \frac{6 - |7 - k|}{36}$ ($2 \leq k \leq 12$).

Aber schon bei *drei* Würfeln werden die Einzelheiten etwas verwickelter:

Auf wie viele Weisen beispielsweise kommt die Augenzahl 9 zustande?

$$6 + 2 + 1, \quad 5 + 3 + 1, \quad 5 + 2 + 2, \quad 4 + 4 + 1, \quad 4 + 3 + 2, \quad 3 + 3 + 3$$

sind die verschiedenen Summen-Muster, denen, der Reihe nach, 6, 6, 3, 3, 6 und 1 Elementarergebnisse beim Ausführen dieses Würfel-experiments entsprechen. Die Gesamtwahrscheinlichkeit der Augenzahl 9 ist somit $\frac{25}{216}$.

Die Anzahl der verschiedenen Muster ist leicht mit der *Multimengen*-Formel zu erfassen: Wir haben 6 Objekte (die Augenzahlen) und bilden dreielementige Mengen (die Würfel), bei denen auch Objekte mehrfach vorkommen dürfen. Die Anzahl der Augenzahl-Muster ist also $\binom{6+3-1}{3} = 56$. Die Anzahl der verschiedenen und gleichwahrscheinlichen Würfel hingegen ist $6^3 = 216$, weil alle drei Würfel als unabhängig und gleichartig funktionierende Zufallszahlengenerator-Individuen zu betrachten sind. (Die „Teilchen“ der Quantenmechanik haben keinen solchen eindeutigen Individualcharakter, weshalb es die Bose/Einstein- und Fermi/Dirac-Statistik gibt.)

Für alle Augenzahlen k von 3 bis 18 einzeln festzustellen, wie viele verschiedene Würfel jedem der zugehörigen Muster entsprechen, um so die jeweilige Gesamtzahl $N_3(k) := \#(X_3 = k)$ zu ermitteln, wäre zu umständlich. Deshalb jetzt systematischere Überlegungen zur Bestimmung aller $N_3(k)$. Es gilt offenbar:

$$\begin{aligned} \sum_{k=3}^{18} N_3(k) \cdot x^k &= (x + x^2 + x^3 + x^4 + x^5 + x^6)^3 = x^3 + 3x^4 + 6x^5 + 10x^6 + 15x^7 + 21x^8 + 25x^9 \\ &\quad + 27x^{10} + 27x^{11} + 25x^{12} + 21x^{13} + 15x^{14} + 10x^{15} + 6x^{16} + 3x^{17} + x^{18} \end{aligned}$$

Will man nicht ein CA-System wie MAXIMA für's Ausmultiplizieren nutzen, kann man die $N_3(k)$ auch nach Art des Pascalschen Dreiecks *von Hand* berechnen. Dazu folgende Umformung:

$$(x + x^2 + x^3 + x^4 + x^5 + x^6)^3 = \left(x^2(1 + x^3)\left(\frac{1}{x} + 1 + x\right)\right)^3 = (x^6 + 3x^9 + 3x^{12} + x^{15})\left(\frac{1}{x} + 1 + x\right)^3$$

Die letzte Faktorisierung legt die Berechnung der $N_3(k)$ in drei Schritten nahe. Wegen des dreifachen Faktors $(1/x + 1 + x)$ wird in der zweiten bis vierten Zeile immer die Summe der drei über einer Stelle stehenden Zahlen gebildet: $\searrow \downarrow \swarrow$

3	4	5	6	7	8	9	10	11	12	13	14	15	16	17	18
			1			3			3			1			
		1	1	1	3	3	3	3	3	3	1	1	1		
	1	2	3	5	7	9	9	9	9	7	5	3	2	1	
1	3	6	10	15	21	25	27	27	25	21	15	10	6	3	1

Die Augenzahlen 10 und 11 machen zusammen *genau ein Viertel* aller Fälle aus, 7 und 8 bzw. 13 und 14 zusammen jeweils *ein Sechstel*.

Nun *vier* Würfel. Die Anzahl der verschiedenen gleichwahrscheinlichen Würfe ist $6^4 = 1296$, die Anzahl der verschiedenen Augenzahl-Muster $\binom{6+4-1}{4} = 126$. Für die Berechnung der $N_4(k)$ ($4 \leq k \leq 24$) von Hand ist die Umformung

$$(x + x^2 + x^3 + x^4 + x^5 + x^6)^4 = (x^8 + 4x^{11} + 6x^{14} + 4x^{17} + x^{20}) \left(\frac{1}{x} + 1 + x\right)^4$$

maßgebend. Das resultierende Schema zeigt u.a. $P(10 \leq k \leq 18) = \frac{29}{36} \approx 0.80555\dots$:

4	5	6	7	8	9	10	11	12	13	14	15	16	17	18	19	20	21	22	23	24
				1			4			6			4			1				
			1	1	1	4	4	4	6	6	6	4	4	4	1	1	1			
		1	2	3	6	9	12	14	16	18	16	14	12	9	6	3	2	1		
	1	3	6	11	18	27	35	42	48	50	48	42	35	27	18	11	6	3	1	
1	4	10	20	35	56	80	104	125	140	146	140	125	104	80	56	35	20	10	4	1

Wir können mit der Potenzreihen-Methode auch eine *allgemeine* Formel aufstellen für $N_n(k)$, die Anzahl der n -Würfel-Würfe mit Augensumme k :

$$\begin{aligned} (x + x^2 + \dots + x^6)^n &= x^n(1 + \dots + x^5)^n = x^n(1 - x^6)^n(1 - x)^{-n} \\ &= x^n \cdot \sum_{k=0}^n \binom{n}{k} (-1)^k x^{6k} \cdot \sum_{l=0}^{\infty} (-1)^l \binom{-n}{l} x^l = x^n \cdot \sum_{m=0}^{5n} x^m \cdot \sum_{\substack{0 \leq k \leq n, l \geq 0 \\ 6k+l=m}} \binom{n}{k} \binom{-n}{l} (-1)^{k+l} \\ &= \sum_{m=0}^{5n} x^{n+m} \cdot \sum_{\substack{0 \leq k \leq \lfloor m/6 \rfloor \\ l=m-6k}} \binom{n}{k} \binom{-n}{l} (-1)^{k+l} \end{aligned}$$

Bei der vorletzten Zweifachsumme (Summationsgrenze $5n$) wird berücksichtigt, dass nur Potenzen bis x^{6n} einen von 0 verschiedenen Koeffizienten haben können. Es ergibt sich die für maschinelle Berechnung taugliche Formel:

$$N_n(k) = \sum_{i=0}^{\lfloor (k-n)/6 \rfloor} \binom{n}{i} \binom{-n}{k-n-6i} \cdot (-1)^{k-n+i} \quad (n \leq k \leq 6n)$$

II. b) Nun würfeln wir mit nur *einem* Würfel. Und zwar bis zum ersten Auftreten einer Sechs, bis zur ersten Doppelsechs (= zwei Sechsen unmittelbar nacheinander), bis zur ersten n -fach-Sechs. Dem entsprechen die Zufallsgrößen X_1, X_2, X_n , welche die Anzahl der jeweils nötigen Würfe angeben.

Wie lange muss man im Schnitt würfeln, um eine Doppelsechs zu erleben? Wie stark streut diese Zahl? Es geht also um *Erwartungswerte* und *Varianzen* dieser Zufallsgrößen.

Bei X_1 ist es noch simpel:

$$P(X_1 = k) = \left(\frac{5}{6}\right)^{k-1} \frac{1}{6}, \text{ also } E(X_1) = \frac{1}{6} \sum_{k=1}^{\infty} k \left(\frac{5}{6}\right)^{k-1} = 6 \text{ und } \text{Var}(X_1) = \frac{1}{6} \sum_{k=1}^{\infty} k^2 \left(\frac{5}{6}\right)^{k-1} - 6^2 = 30.$$

Immerhin sind einfache unendliche Reihen (abgeleitete geometrische Reihen) zu summieren.

Im Allgemeinfall X_n ist ein solches Ausrechnen „zu Fuß“ mühsam. Eleganter und einfacher ist es, *bedingte Erwartungswerte* ins Spiel zu bringen.

Wir erinnern kurz an dieses Konzept. Ist F_X die Verteilungsfunktion einer Zufallsgröße und B ein Ereignis mit $P(B) > 0$, so ist $F_X(x | B) := P(X \leq x | B)$ die *bedingte Verteilung* und

$$E(X | B) := \int_{-\infty}^{\infty} x dF_X(x | B)$$

die *bedingte Erwartung* der Zufallsgröße unter der Bedingung B . Im Falle eines diskreten X also einfach $E(X | B) = \sum x_k \cdot P(X = x_k | B)$.

Analog zur Formel von der totalen Wahrscheinlichkeit gilt für eine disjunkte Zerlegung $\Omega = B_1 \cup B_2 \cup \dots \cup B_n$ mit $P(B_i) > 0$ die *Erwartungswert-Zerlegungsformel*

$$E(X) = E(X | B_1) \cdot P(B_1) + \dots + E(X | B_n) \cdot P(B_n).$$

Diese Formel nutzen wir im Falle X_n . Wir betrachten folgende Ereignisse:

B_1 : „Nicht-Sechs im ersten Wurf“;

B_2 : „Sechs im ersten und Nicht-Sechs im zweiten Wurf“;

B_3 : „Sechs im ersten und zweiten und Nicht-Sechs im dritten Wurf“;

⋮

B_n : „Sechs im ersten bis $(n - 1)$ -ten und Nicht-Sechs im n -ten Wurf“.

Es gilt $P(B_k) = \frac{5}{6^k}$ und $E(X_n | B_k) = E(X_n + k)$ für $1 \leq k \leq n$. Ferner

B_{n+1} : „Sechs im ersten bis n -ten Wurf“; $P(B_{n+1}) = \frac{1}{6^n}$, $E(X_n | B_{n+1}) = n$.

Man prüft leicht nach (endliche geometrische Reihe): $\sum_{k=1}^{n+1} P(B_k) = 1$.

Mit der Erwartungswert-Zerlegungsformel folgt für $a := E(X_n)$:

$$a = \sum_{k=1}^n \frac{5}{6^k} \cdot (a+k) + \frac{n}{6^n} \quad \text{und damit} \quad \frac{a}{6^n} = 5 \sum_{k=1}^n \frac{k}{6^k} + \frac{n}{6^n}, \text{ also}$$

$$E(X_n) = \frac{6}{5}(6^n - 1) = 6 + 6^2 + \dots + 6^n.$$

Eine Tabelle:

n	1	2	3	4	5	6	7
$E(X_n)$	6	42	258	1554	9330	55986	335922

Nun zur Varianz. Es gilt $E(X_n^2 | B_k) = E((X_n+k)^2) = E(X_n^2) + \frac{12k}{5}(6^n-1) + k^2$ für $1 \leq k \leq n$ und $E(X_n^2 | B_{n+1}) = n^2$. Also mit $b := E(X_n^2)$

$$b = \left(1 - \frac{1}{6^n}\right)b + 2(6^n - 1) \sum_{k=1}^n \frac{k}{6^{k-1}} + \sum_{k=1}^n \frac{5k^2}{6^k} + \frac{n^2}{6^n}, \quad \text{und mit} \quad \text{Var}(X_n) = b - a^2 \text{ folgt}$$

$$\text{Var}(X_n) = \frac{6^{n+1}}{25}(6^{n+1} - 10n - 5) - \frac{6}{25} = (E(X_n))^2 - \frac{6}{25}((10n - 7)6^n + 7).$$

Bem.: (i) Standardabweichung wie Mittelwert betragen ca. $1.2 \cdot 6^n$. (ii) Die Varianz ist wie der Mittelwert stets *ganzzahlig*, da $(10n - 7)6^n + 7$ für alle $n \in \mathbb{N}$ Vielfaches von 25 ist (simple Induktion). (iii) Die *Existenz* der Erwartungswerte wird bei obiger Argumentation implizit *vorausgesetzt*. Für die Anzahl A_m der Wurffolgen mit $X_n = m$ gilt $A_m = 5(A_{m-1} + A_{m-2} + \dots + A_{m-n})$; das zeigt eine Sortierung gemäß B_1, B_2, \dots, B_n . Mit $p_m = A_m/6^m$ also $p_m = (5/6)p_{m-1} + (5/36)p_{m-2} + \dots + (5/6^n)p_{m-n}$. Alle Wurzeln des charakteristischen Polynoms dieser Rekursion liegen innerhalb des Kreises $|z| < 1$, da $\frac{5}{6} + \dots + \frac{5}{6^n} < 1$. Daraus folgt die Existenz der Erwartungswerte.

Wir rechnen $E(X_2)$ zum Vergleich auch noch „zu Fuß“ aus:

Dazu ist zu überlegen, welche 0-1-Sequenzen der Längen 2, 3, ... es gibt, die am Schluss 11 und ansonsten nur *isolierte* Einsen enthalten. Einer *vor* dem Ende 11 vorkommenden 1 folgt *immer* eine 0. D.h.:

Die Wurf-Folge setzt sich zusammen aus einer gewissen Anzahl einzelner Nullen, einer gewissen Anzahl von Paaren 10, gefolgt am Schluss von 11.

Fügen wir j Nullen und k Paare 10 *in unterschiedlicher Reihenfolge* aneinander, entstehen *verschiedene* Gesamtsequenzen, da, vom Beginn der Wurf-Folge an gerechnet, die erste Abweichung voneinander eine 0 bei der einen, eine 1 bei der anderen Sequenz bedeutet. Die Länge jeder solchen Sequenz, 11 am Schluss mitgerechnet, ist jeweils $l = j + 2k + 2$, ihre Eintretens-Wahrscheinlichkeit beträgt $\left(\frac{5}{6}\right)^j \cdot \left(\frac{5}{36}\right)^k \cdot \frac{1}{36} = \frac{5^{l-k-2}}{6^l}$, und es gibt $\frac{(j+k)!}{j! \cdot k!} = \binom{l-k-2}{k}$ verschiedene solche Sequenzen. Damit

$$E(X_2) = \sum_{l=2}^{\infty} l \cdot \sum_{k=0}^{\lfloor l/2 \rfloor - 1} \binom{l-k-2}{k} \cdot \frac{5^{l-k-2}}{6^l}.$$

Die Auswertung dieser Reihe scheint auf den ersten Blick schwierig, gelingt aber mittels folgender Identität (siehe z.B. Graham/Knuth/Patashnik, *Concrete Mathematics*, 2nd ed., p.204, Formel (5.74)):

$$S_n(z) := \sum_{k=0}^n \binom{n-k}{k} z^k = \frac{1}{\sqrt{1+4z}} \left(\left(\frac{1+\sqrt{1+4z}}{2} \right)^{n+1} - \left(\frac{1-\sqrt{1+4z}}{2} \right)^{n+1} \right).$$

Die Herleitung dieser Identität bei G/K/P ist verwickelt. Man kann sie aber auch auf ganz einfache Art beweisen:

Mittels der Grundformel des Pascalschen Dreiecks, $\binom{n}{k} + \binom{n}{k+1} = \binom{n+1}{k+1}$, zeigt man leicht $S_{n+2}(z) = zS_n(z) + S_{n+1}(z)$. Die Lösung dieser *linearen Differenzgleichung* ergibt die Identität. Damit

$$E(X_2) = \frac{\sqrt{5}}{90} \sum_{l=2}^{\infty} l \left(\left(\frac{5+3\sqrt{5}}{12} \right)^{l-1} - \left(\frac{5-3\sqrt{5}}{12} \right)^{l-1} \right) = \frac{(1-q_1)^{-2} - (1-q_2)^{-2}}{90/\sqrt{5}} = 42,$$

wobei $q_{1,2} = \frac{5 \pm 3\sqrt{5}}{12}$. ($\text{Var}(X_2) = 1650$ und damit $\sigma(X_2) \approx 40.62$ ergibt sich durch einfache Rechnung ohne Zusatzüberlegungen.)

Fazit: Der Weg „zu Fuß“ zu $E(X_2)$ ist *viel* steiniger.

Aber diese Methode liefert *mehr Informationen* über die Zufallsgröße, nämlich die genaue Verteilung der Wahrscheinlichkeiten auf die einzelnen Wurf-Anzahlen und damit z.B. auch den *Median*:

$$\begin{aligned} \frac{\sqrt{5}}{90} \sum_{l=2}^{29} \left(\left(\frac{5+3\sqrt{5}}{12} \right)^{l-1} - \left(\frac{5-3\sqrt{5}}{12} \right)^{l-1} \right) &\approx 0.49961, \\ \frac{\sqrt{5}}{90} \sum_{l=2}^{30} \left(\left(\frac{5+3\sqrt{5}}{12} \right)^{l-1} - \left(\frac{5-3\sqrt{5}}{12} \right)^{l-1} \right) &\approx 0.51178 \end{aligned}$$

In 50% der Fälle braucht man also höchstens **29** Würfe bis zur ersten Doppelsechs, wenn auch der Durchschnittswert bei 42 liegt. Analog reichen beim Würfeln bis zur ersten Sechs in 51.8% der Fälle 4 Würfe, obwohl der Durchschnitt 6 beträgt.

Hinweis: Den Erwartungswert der Anzahl der Versuche bis zum Eintritt eines Doppelerfolges bestimmt auch N. Henze, *Stochastik für Einsteiger*, 10. Aufl., p. 208, mit der bedingten Erwartung. Dies gab mir die Anregung, das hier dargestellte Beispiel II. b) auszuarbeiten.

III. Kartenverteilungen beim Doppelkopf

Da beim Doppelkopf-Spiel jede Karte *doppelt* auftritt, ist zwischen den Anzahlen verschiedener tatsächlicher Kartenverteilungen und den Anzahlen *logischer* Kartenverteilungen (bei denen es nur auf die Kartenkonstellationen aus der jeweiligen Spieler-Perspektive ankommt) sorgfältig zu unterscheiden.

Für Wahrscheinlichkeitsberechnungen muss man die tatsächlichen einzelnen Karten zählen, was einfach ist. Die Erfassung der *logischen* Kartenverteilungen, um die es hier vor allem gehen soll, erweist sich als erheblich aufwendiger. Resultat: Während die Anzahl *aller* Verteilungen $2.36 \cdot 10^{26}$ beträgt, gibt es nur $2.25 \cdot 10^{21}$ *logisch verschiedene* Spielanfangs-Kartenverteilungen.

III. a) Wie wahrscheinlich ist eine „Hochzeit“?

Es gibt insgesamt 48 Karten, von denen jeder der vier Spieler 12 erhält. Es sind die Karten *9, 10, Bube, Dame, König, As* in den vier Farben *Kreuz, Pik, Herz* und *Karo* aus zwei klassischen Skat-Spielen; d.h.: Jede Karte kommt genau *zweimal* vor.

Die höchsten Trümpfe – abgesehen von den beiden „Dullen“, den Herz-Zehnen – sind die Damen, deren wiederum höchste, die beiden Kreuz-Damen (die „Re-Damen“), entscheiden, welche Zweier-Teams gegeneinander spielen: die Spieler mit den beiden Re-Damen spielen zusammen gegen die anderen beiden. Erhält ein Spieler *beide* Re-Damen (eine „Hochzeit“), kann er entscheiden, ob er heimlich allein gegen die anderen drei spielt („*stille*“ Hochzeit) oder aber einen Mitstreiter wählt; z.B.: „Der erste Stich in fremder Hand geht mit.“ (Zu Beginn des Spiels ist meistens nicht erkennbar, welche zwei Spieler jeweils ein Team bilden, und dies kann manchmal taktisch geschickt genutzt werden.)

Wir bestimmen nun erst einmal *die Anzahl aller verschiedenen Kartenverteilungen* und dann die Anzahl derjenigen unter ihnen, bei denen *einer* der Spieler *beide* Re-Damen erhält.

Beim Vorgang des Mischens und Karten-Austeilens ist jede *reale Karte* ein Individuum. Es spielt keine Rolle, dass jeder Kartenwert (wie Kreuz Bube oder Herz Zehn) *doppelt* vorhanden ist. Es gibt also

$$N = \binom{48}{12} \cdot \binom{36}{12} \cdot \binom{24}{12} \cdot \binom{12}{12} = 235809301462142612780721600 \approx 2.358 \cdot 10^{26}$$

verschiedene Kartenverteilungen.

Bei wie vielen Kartenverteilungen erhält *Spieler 1* beide Re-Damen?

Diese Anzahl ist offenbar $\binom{2}{2} \cdot \binom{46}{10} \cdot \binom{36}{12} \cdot \binom{24}{12} \cdot \binom{12}{12}$. Als Eintretenswahrscheinlichkeit ergibt sich also $w = \binom{46}{10} / \binom{48}{12} = \frac{11}{188}$.

Die Wahrscheinlichkeit, dass *irgendein* Spieler beide Re-Damen erhält, ist – da bei allen vier Spielern dieselbe – gegeben durch

$$w_H = 4 \cdot \frac{11}{188} = \frac{11}{47} \approx 0.234.$$

Bei *annähernd jedem vierten Spiel* landen beide Kreuz-Damen bei ein und demselben Spieler, d.h es tritt eine *Hochzeit* auf.

Nun die kombinatorisch kniffligere Frage:

III. b) Wie viele *logisch verschiedene* Kartenverteilungen treten beim Doppelkopf auf? Anders gesagt: Wie viele verschiedene „Spiele“ gibt es?

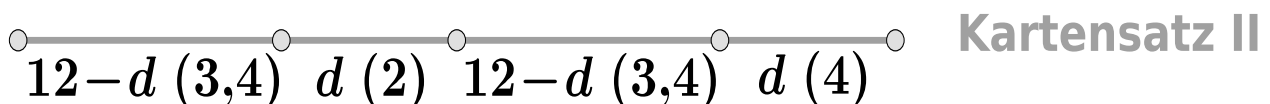
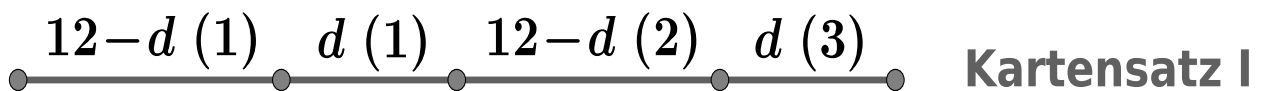
Die Antwort auf diese Frage, die mir einst ein Student stellte, ohne dass ich sie auf Anhieb beantworten konnte, verlangt einige Fallunterscheidungen.

Wir klassifizieren die Kartenverteilungen nach der Anzahl p der *Kartenpaare* (zwei gleiche Karten in der Hand *eines* Spielers sind ein solches Paar) und der Anzahl s der *Solokarten* (Karten, bei denen die beiden logisch gleichen Exemplare bei *verschiedenen* Spielern gelandet sind). Es gilt stets $2p + s = 48$.

Im Falle $p = 24$, d.h. $s = 0$, erhält jeder der Spieler 6 Paare; es gibt also $N_{24} = \binom{24}{6} \cdot \binom{18}{6} \cdot \binom{12}{6} \cdot \binom{6}{6} = 2308743493056 \approx 2.3 \cdot 10^{12}$ solche Verteilungen.

Im anderen Extremfall $p = 0$ und damit $s = 48$ erhält jeder Spieler nur Solokarten.

Für den ersten Spieler gibt es $\binom{24}{12}$ verschiedene Möglichkeiten. Auch beim zweiten kann noch aus allen 24 verschiedenen Karten ausgewählt werden. Dabei gibt es jeweils $\binom{12}{d} \cdot \binom{12}{12-d} = \binom{12}{d}^2$ *logisch verschiedene* Möglichkeiten, $d \in \{0, 1, \dots, 12\}$ Karten *zum zweiten Mal* und damit $12 - d$ der bei Spieler 1 nicht vorkommenden 12 Karten zu vergeben. Danach sind $24 - d$ verschiedene Karten vergeben und daher d Karten noch *doppelt* vorhanden. Der dritte Spieler erhält je eine der noch doppelten Karten und dann irgendwelche $12 - d$ der noch $24 - 2d$ einfach vorhandenen; das sind insgesamt $\binom{24}{12} \binom{12}{d}^2 \binom{24-2d}{12-d}$ *logisch verschiedene* Kartenverteilungen. Folgende Grafik verdeutliche diese *logische* Aufteilung auf die verschiedenen Kartenarten und Spieler (*nicht* die Verteilung der *tatsächlichen* Karten!), dabei in Klammern jeweils der/die Spieler:



Die Summe über alle Werte d mit $0 \leq d \leq 12$ ergibt insgesamt:

$$N_0 = \binom{24}{12} \sum_{d=0}^{12} \binom{12}{d}^2 \binom{24-2d}{12-d} = 25780447171287900 \approx 2.578 \cdot 10^{16}$$

Nun sind noch die Anzahlen N_p der logisch verschiedenen Kartenverteilungen für $0 < p < 24$ und jeweils $s = 48 - 2p$ zu bestimmen.

Vorher eine Überlegung zur *Wahrscheinlichkeit* der reinen Paar-Verteilungen und der reinen Solokarten-Verteilungen:

Bei den Paar-Verteilungen unterscheiden sich logische und tatsächliche Kartenverteilungs-Anzahl *nicht*, weil ja beide gleichen Karten in derselben Hand sind.

Die einzelnen möglichen Paar-Verteilungen sind aus Symmetriegründen alle untereinander gleichwahrscheinlich. Die Wahrscheinlichkeit einer reinen Paar-Verteilung ist somit

$$w_P = \frac{N_{24}}{N} \approx 9.79 \cdot 10^{-15}.$$

Die Wahrscheinlichkeit für *einzelne* reine Paar-Verteilungen ist $N^{-1} \approx 4.24 \cdot 10^{-27}$, entspricht also derjenigen *jeder beliebigen* tatsächlichen Kartenverteilung.

Bei den reinen Solokarten-Verteilungen sieht es anders aus. Logisch dieselbe, aber eine faktisch andere Verteilung entsteht, wenn man irgendwelche der Paare gleicher Karten vertauscht, weil diese dann die Hand wechseln. Indem man bei gegebener logischer Solo-Verteilung irgendwie *einen vollen logischen Kartensatz* auswählt und diesen Karten den „ersten“ der *faktischen* Kartensätze zuordnet, erhält man insgesamt 2^{24} *verschiedene faktische* Verteilungen zu *einer* logischen Solokarten-Verteilung. Also sind die Solokarten-Verteilungen *erheblich viel wahrscheinlicher* als die reinen Paar-Verteilungen. Dies macht schon klar, dass Abzählen der *logischen* Verteilungen *nicht* zur Berechnung der *Wahrscheinlichkeiten* geeignet ist.

Die Wahrscheinlichkeit einer Solokarten-Verteilung ist

$$w_S = \frac{N_0 \cdot 2^{24}}{N} \approx 1.8342 \cdot 10^{-3}.$$

Die Wahrscheinlichkeit jeder *einzelnen* logischen Solokarten-Verteilung ist demnach

$$2^{24}/N \approx 7.1147 \cdot 10^{-20}.$$

Die Wahrscheinlichkeit des Auftretens einer reinen Solokarten-Verteilung beträgt immerhin *fast 2 Promille*; eine reine Paar-Verteilung kommt nur knapp einmal in hundert Billionen Spielen vor, ist also *äußerst unwahrscheinlich*.

Nun müssen zur Bestimmung beliebiger N_p die bisherigen Überlegungen kombiniert werden.

Es sind p Kartenpaare und $48 - 2p$ Solokarten auf die vier Spieler zu verteilen. Es gibt $\binom{24}{p}$ unterschiedliche Möglichkeiten, p Kartenpaare auszuwählen. Bei Zuordnung von p_1, p_2, p_3, p_4 Paaren zu den Spielern 1, 2, 3 bzw. 4 (mit $p_1 + p_2 + p_3 + p_4 = p$) gibt es

$$\binom{p}{p_1} \binom{p-p_1}{p_2} \binom{p-p_1-p_2}{p_3} \binom{p-p_1-p_2-p_3}{p_4} = \frac{p!}{p_1! p_2! p_3! p_4!} =: \binom{p}{p_1, p_2, p_3, p_4}$$

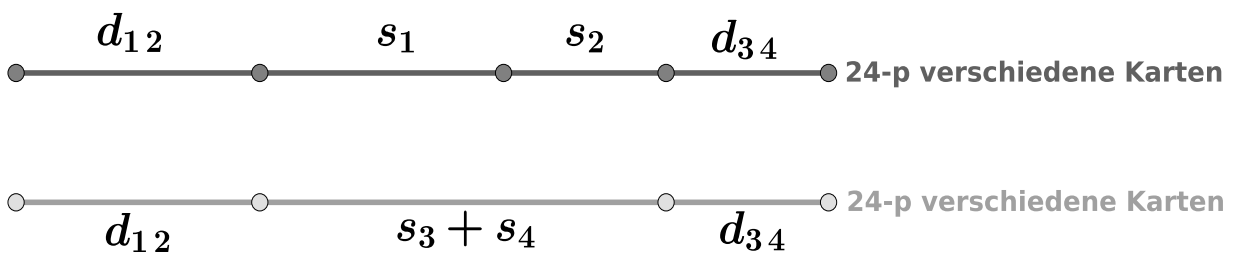
logisch verschiedene Verteilungsmöglichkeiten („Multinomial-Koeffizient“).

Außerdem erhalten die Spieler noch $12 - 2p_1, 12 - 2p_2, 12 - 2p_3$ bzw. $12 - 2p_4$ Solokarten. Dafür stehen $24 - p$ Karten-Paare zur Verfügung. Die Auswahl ist nur möglich, wenn die p_i gewisse Randbedingungen erfüllen:

Offenbar ist $p_i \geq \frac{p}{2} - 6 \Leftrightarrow 24 - p \geq 12 - 2p_i$ notwendig; z.B. im Falle $p = 20$ muss $p_i \geq 4$ gelten. Also

$$\frac{p}{2} - 6 \leq p_i \leq 6 \quad (i = 1, 2, 3, 4).$$

Die *logische* Kartenverteilung verdeutliche wieder ein Diagramm, bei dem d_{12} die Anzahl der bei den Spielern 1 und 2 *gemeinsam* und s_1, s_2 die nur bei *einem* der Spieler vorkommenden Solokarten bezeichne; d_{34}, s_3, s_4 seien analog definiert.



Es gilt hierbei:

$$d_{12} + s_1 = 12 - 2p_1, \quad d_{12} + s_2 = 12 - 2p_2, \quad d_{34} + s_3 = 12 - 2p_3, \quad d_{34} + s_4 = 12 - 2p_4$$

sowie

$$d_{12} + d_{34} + s_1 + s_2 = 24 - p, \quad d_{12} + d_{34} + s_3 + s_4 = 24 - p.$$

Das sind 6 Gleichungen für 6 Unbekannte, die allerdings *nicht alle unabhängig* sind: die Summe der ersten vier Gleichungen ist identisch mit der Summe der letzten beiden. Legt man aber *einen* der Werte $d_{12}, d_{34}, s_1, s_2, s_3, s_4$ fest, ergeben sich die anderen fünf Werte zwangsläufig; das Gleichungssystem hat also den Rang 5. Legt man z.B. d_{12} auf einen Wert $d \in \{0, 1, \dots, \min(12-2p_1, 12-2p_2)\}$ fest, folgt $d_{34} = p_1 + p_2 - p_3 - p_4 + d$, und da dieser Wert natürlich die analoge Bedingung $d_{34} \in \{0, 1, \dots, \min(12-2p_3, 12-2p_4)\}$ erfüllen muss, ergibt sich für den freien Parameter d insgesamt die Einschränkung

$$\max(0, p_3 + p_4 - p_1 - p_2) \leq d \leq \min(12 - 2p_1, 12 - 2p_2, 12 - p + 2p_3, 12 - p + 2p_4).$$

Genau dann, wenn diese Bedingung erfüllt ist, sind alle sich zwingend ergebenden anderen Werte sinnvoll:

$$\begin{aligned} d_{12} &= d \quad \text{sowie} \quad d_{34} = d + p_1 + p_2 - p_3 - p_4, & s_1 &= 12 - 2p_1 - d, \\ s_2 &= 12 - 2p_2 - d, & s_3 &= 12 - p + 2p_4 - d, & s_4 &= 12 - p + 2p_3 - d. \end{aligned}$$

Nun wird für jeden zulässigen Wert d bei vorgegebenen p_1, p_2, p_3 und p_4 die Anzahl der logisch verschiedenen Verteilungen der $48 - 2p$ Solokarten bestimmt.

Die sich ergebende Anzahl von Solokarten-Auswahlmöglichkeiten:

$$\sum_{d=d_0(p_1,p_2,p_3,p_4)}^{d_1(p_1,p_2,p_3,p_4)} \binom{24-p}{d} \binom{24-p-d}{p-2(p_3+p_4)+d} \binom{24-2p_1-2p_2-2d}{12-2p_1-d} \binom{24-2p_1-2p_2-2d}{12-p+2p_4-d}$$

mit

$$d_0(p_1, p_2, p_3, p_4) = \max(0, p_3 + p_4 - p_1 - p_2)$$

und

$$d_1(p_1, p_2, p_3, p_4) = \min(12 - 2p_1, 12 - 2p_2, 12 - p + 2p_3, 12 - p + 2p_4).$$

Diese Summe ist dann noch mit der Anzahl der Paar-Auswahlen, also mit $\binom{24}{p} \binom{p}{p_1, p_2, p_3, p_4}$ zu multiplizieren.

Wir vergleichen die beiden Grenzfälle $p_1 = p_2 = p_3 = p_4 = 6$ und $p = 0$ mit den vorherigen Formeln (eine Art *Probe*):

Im ersten Fall ergibt sich $0 \leq d \leq 0$ und damit

$$\binom{0}{0} \cdot \binom{0}{0} \cdot \binom{0}{0} \cdot \binom{0}{0} \cdot \binom{24}{24} \cdot \binom{24}{6, 6, 6, 6} = 2308743493056 = N_{24};$$

im zweiten Fall folgt $0 \leq d \leq 12$ und

$$\sum_{d=0}^{12} \binom{24}{d} \binom{24-d}{d} \binom{24-2d}{12-d} \binom{24-2d}{12-d} = 2578447171287900 = N_0.$$

Die Anzahl N_p *logischer Kartenverteilungen mit p Paaren* ergibt sich durch Summieren über alle zulässigen p_i -Kombinationen.

Durch die Grenzen $d_0(p_1, p_2, p_3, p_4) \leq d \leq d_1(p_1, p_2, p_3, p_4)$ bei der Summation sind die anfangs genannten p_i -Einschränkungen implizit berücksichtigt, da ihr Nichterfülltsein $d_0 > d_1$ zur Folge hat. Die Auswertung der folgenden Summenformel, für die Handrechnung zu kompliziert, überlassen wir – wie schon die bisherigen Zahlenrechnungen – dem CA-System MAXIMA. Es gilt

$$N_p = \binom{24}{p} \sum_{\substack{p_i \geq 0 \\ p_1 + \dots + p_4 = p}} \frac{p!}{p_1! p_2! p_3! p_4!} \cdot \sum_{d=d_0(p_1,p_2,p_3,p_4)}^{d_1(p_1,p_2,p_3,p_4)} \binom{24-p}{d} \binom{24-p-d}{p-2(p_3+p_4)+d} \binom{24-2p_1-2p_2-2d}{12-2p_1-d} \binom{24-2p_1-2p_2-2d}{12-p+2p_4-d}$$

und die *Anzahl aller logisch verschiedenen Kartenverteilungen* ist

$$N_L = \sum_{p=0}^{24} N_p = 2248575441654260591964 \approx 2.25 \cdot 10^{21} \approx N/10^5.$$

Da bei einer festen logischen Verteilung mit p Paaren durch Vertauschen der $24 - p$ Solokartenpaare *alle* faktisch verschiedenen, aber logisch gleichen Verteilungen entstehen, gilt (eine *Probe!*) $\sum_{p=0}^{24} 2^{24-p} \cdot N_p = N$.

III. c) Nun beschreiben wir die Zahl der Paare als *Zufallsgröße P*.

Instruktiv ist eine tabellarische Übersicht des Werteverlaufs von N_p sowie der Häufigkeiten $H_p = 2^{24-p} N_p$; $w(P=p) = \frac{H_p}{N}$.

p	N_p	$H_p = 2^{24-p} \cdot N_p$
0	25780447171287900 = $2.58 \cdot 10^{16}$	432524130769286096486400 = $4.33 \cdot 10^{23}$
1	363832959548298240 = $3.64 \cdot 10^{17}$	3052052075130531002449920 = $3.05 \cdot 10^{24}$
2	2483164491444917280 = $2.48 \cdot 10^{18}$	10415146759125382327173120 = $1.04 \cdot 10^{25}$
3	10898289332076706560 = $1.09 \cdot 10^{19}$	22855369269343329315717120 = $2.29 \cdot 10^{25}$
4	34502487882513290640 = $3.45 \cdot 10^{19}$	36178480733894256246128640 = $3.62 \cdot 10^{25}$
5	83781446916501734400 = $8.38 \cdot 10^{19}$	43925607240958861325107200 = $4.39 \cdot 10^{25}$
6	162010440901293880896 = $1.62 \cdot 10^{20}$	42470065019628783113601024 = $4.25 \cdot 10^{25}$
7	255719131625882276352 = $2.56 \cdot 10^{20}$	33517618020467641726009344 = $3.35 \cdot 10^{25}$
8	335095683107207742720 = $3.35 \cdot 10^{20}$	21960830688113966626897920 = $2.20 \cdot 10^{25}$
9	368874473773917855744 = $3.69 \cdot 10^{20}$	12087278756623740297019392 = $1.21 \cdot 10^{25}$
10	343878632431475581440 = $3.44 \cdot 10^{20}$	5634107513757295926312960 = $5.63 \cdot 10^{24}$
11	272908704913714501632 = $2.73 \cdot 10^{20}$	2235668110653149197369344 = $2.24 \cdot 10^{24}$
12	184916672029927341504 = $1.85 \cdot 10^{20}$	757418688634582390800384 = $7.57 \cdot 10^{23}$
13	107050155990705607680 = $1.07 \cdot 10^{20}$	219238719468965084528640 = $2.19 \cdot 10^{23}$
14	52888925493994157568 = $5.29 \cdot 10^{19}$	54158259705850017349632 = $5.42 \cdot 10^{22}$
15	22214940975304197120 = $2.22 \cdot 10^{19}$	11374049779355748925440 = $1.14 \cdot 10^{22}$
16	7897479700512402000 = $7.90 \cdot 10^{18}$	2021754803331174912000 = $2.02 \cdot 10^{21}$
17	2347160984780451840 = $2.35 \cdot 10^{18}$	300436606051897835520 = $3.00 \cdot 10^{20}$
18	581872622554903680 = $5.82 \cdot 10^{17}$	37239847843513835520 = $3.72 \cdot 10^{19}$
19	114698376735022080 = $1.15 \cdot 10^{17}$	3670348055520706560 = $3.67 \cdot 10^{18}$
20	19220289579691200 = $1.92 \cdot 10^{16}$	307524633275059200 = $3.08 \cdot 10^{17}$
21	1994754378000384 = $1.99 \cdot 10^{15}$	15958035024003072 = $1.60 \cdot 10^{16}$
22	249344297250048 = $2.49 \cdot 10^{14}$	997377189000192 = $9.97 \cdot 10^{14}$
23	0	0
24	2308743493056 = $2.31 \cdot 10^{12}$	2308743493056 = $2.31 \cdot 10^{12}$

Bemerkenswert: $p = 23$ ist die einzige Anzahl an Paaren, die bei keiner Kartenverteilung vorkommt. Was leicht unmittelbar einzusehen ist: Insgesamt zwei Solokarten (bei verschiedenen Spielern anzutreffen) kann es nicht geben, da alle Spieler 12 Karten erhalten, eine *gerade* Anzahl.

94.74% aller Kartenverteilungen, nämlich 223410396488155960977653760, haben 2 bis 9 Kartenpaare; die 156091771014949542410846208 Verteilungen mit 4 bis 7 Kartenpaaren sind schon ca. zwei Drittel aller Verteilungen.

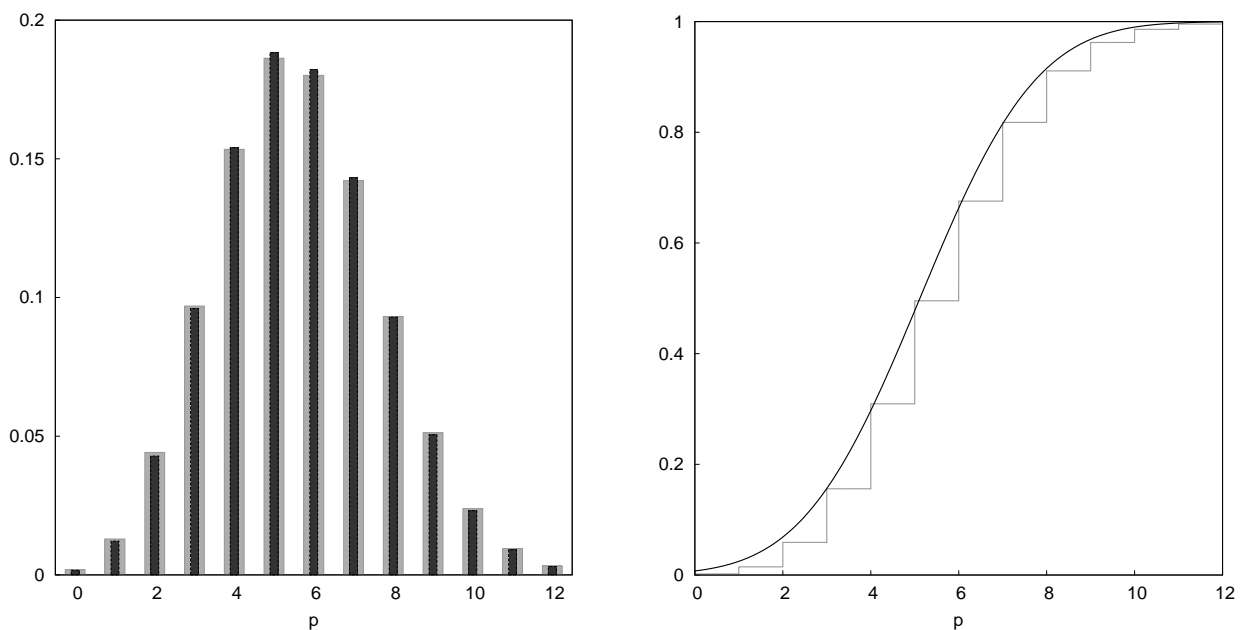
Mehr als 12 Kartenpaare haben 287134455041807189648832, also nur 1.22‰ aller Kartenverteilungen; reine Solokarten-Verteilungen ($p = 0$) sind etwa eineinhalb mal so häufig.

(Hier ist nicht von den logischen Anzahlen N_p , sondern von den *Häufigkeiten* H_p und daher von *Wahrscheinlichkeiten* die Rede. Die größte Anzahl *logisch verschiedener Spiele* gibt's bei 9 Paaren, 90.3% aller logisch verschiedenen Spiele haben 6 bis 13, 70.1% haben 7 bis 11 und nur 23.8% haben 4 bis 7 Paare.)

Der *Erwartungswert* der Paar-Anzahl P ist $E(P) = \sum_{p=0}^{24} p \frac{H_p}{N} = \frac{264}{47} \approx 5.617$, die *Varianz* beträgt $\text{Var}(P) = \frac{48576}{11045} \approx 4.398$ und damit die *Standardabweichung* $\sigma(P) \approx 2.09714$.

Da $\frac{1}{N} \sum_{p=0}^5 H_p \approx 0.49556645766$ und $\frac{1}{N} \sum_{p=0}^6 H_p \approx 0.67566989$, ist 5.5 der *Median* der Paar-Anzahl P . Der *Modus* ist 5, aber 6 ist fast genauso häufig.

Einen noch anschaulicheren Eindruck verschaffen *grafische* Darstellungen und der Vergleich mit der *Binomialverteilung* (links) bzw. *Normalverteilung* (rechts, mit Stetigkeitskorrektur) mit passenden Kenngrößen; es ergeben sich recht gute Übereinstimmungen:



Die Binomialverteilung (schwarz, $n = 24, p = \frac{11}{47}$) hat eine geringfügig kleinere Varianz als die tatsächliche Paar-Verteilung (grau). Die Wahrscheinlichkeit, dass irgendein Kartenpaar in *einer* Hand landet, beträgt jeweils $w_H = \frac{11}{47}$; siehe a). Wären diese Ereignisse alle *unabhängig* voneinander, wäre die Binomialverteilung die exakte Verteilung der Zufallsgröße P ; auf jeden Fall $E(P) = 24 \cdot \frac{11}{47}$.

IV. Zufallsprodukte

Seien X_1, X_2, \dots, X_n unabhängige auf dem Intervall $[0, A]$ mit einem $A > 0$ gleichverteilte Zufallszahlen.

Es sollen die Eigenschaften der Zufallsgrößen $Y_n := X_1 \cdot X_2 \cdots X_n$ ($n = 1, 2, \dots$) untersucht werden.

Vor einigen Jahren experimentierte ein Student der Informatik mit solchen Zufallszahlen auf dem Computer, war überrascht, dass im Falle $A = 2$ die Y_n meist *sehr klein* ausfielen, obwohl doch ihr Mittelwert 1 sein sollte, und sprach mich deshalb an. Erst für $A = 2.72$ (so in etwa) ändere sich das seltsamerweise, und für noch größere A fielen die Zufallsprodukte meist *sehr groß* aus.

Ich bestätigte ihm die mathematische Korrektheit seiner Überlegung, der Mittelwert sei $(A/2)^n$, also genau im Falle $A = 2$ gleich 1. Wieso dann dieses seltsame Verhalten der Zufallsprodukte?

Indem man die Logarithmen $\ln Y_n = \ln X_1 + \dots + \ln X_n$ betrachtet, erhält man den ersten Hinweis darauf, woran es liegt: $\ln Y_n$ ist annähernd normalverteilt und hat den Mittelwert $n \cdot \int_0^A \ln x \frac{1}{A} dx = n(\ln(A) - 1)$. Also $0.5 \approx P(\ln Y_n \leq n(\ln(A) - 1)) = P(Y_n \leq (A/e)^n)$. Und das bedeutet:

Im Falle $A = e \approx 2.72$ gilt bei etwa 50% aller Werte $Y_n \leq 1$, und für die andere Hälfte gilt $Y_n \geq 1$; Mittelwert und Median klaffen für größere n sehr weit auseinander.

(Am Beispiel $\varphi = \ln$ zeigt sich hier, dass im allgemeinen $E(\varphi(X)) \neq \varphi(E(X))$ gilt.)

Dem Studenten reichte diese Ad-hoc-Erklärung. Aber ich wollte es doch etwas genauer wissen und habe mich daher ein bisschen mit den Eigenschaften der Größen Y_n beschäftigt, was sich als nicht völlig trivial erwies.

IV. a) Vorbemerkung zu *Summen* gleichverteilter Zufallsgrößen

Die Dichte der Summe $X + Y$ zweier unabhängiger stetiger Größen ergibt sich bekanntlich als das Faltungsprodukt

$$f_{X+Y}(x) = \int_{-\infty}^{\infty} f_X(x-t)f_Y(t) dt.$$

Benutzt man dies für unabhängige Gleichverteilungen auf dem Intervall $[-1, 1]$, ergibt sich induktiv für n Summanden die Formel

$$f_n(x) = \begin{cases} \frac{1}{2^n (n-1)!} \sum_{k=0}^{\lfloor (n+x)/2 \rfloor} (-1)^k \binom{n}{k} (n+x-2k)^{n-1}, & |x| < n, \\ 0, & \text{sonst,} \end{cases}$$

die schon N. I. Lobatschewski, bekannt vor allem durch seine Mitbegründung der nichteuclidischen Geometrie, im Zusammenhang mit Überlegungen zur Fehlerrechnung angegeben hat. (Siehe A. Rényi, *Probability Theory*, p. 197f.)

Hat X die Dichte f , so hat $\tilde{X} = aX + b$ mit $a > 0$ bekanntlich die Dichte $\tilde{f}(x) = \frac{1}{a} f\left(\frac{x-b}{a}\right)$.

Umgerechnet auf den Fall der Zufallsgrößen X_1, X_2, \dots, X_n erhalten wir mit $a = A/2$, $b = n \cdot A/2$

$$f_{X_1+\dots+X_n}(x) = \begin{cases} \frac{1}{A \cdot (n-1)!} \sum_{k=0}^{\lfloor \frac{x}{A} \rfloor} (-1)^k \binom{n}{k} \left(\frac{x}{A} - k\right)^{n-1}, & 0 < x < nA, \\ 0, & \text{sonst.} \end{cases}$$

Als Verteilungsfunktion folgt

$$F_{X_1+\dots+X_n}(x) = \begin{cases} 0, & x < 0, \\ \frac{1}{n!} \sum_{k=0}^{\lfloor \frac{x}{A} \rfloor} (-1)^k \binom{n}{k} \left(\frac{x}{A} - k\right)^n, & 0 \leq x < nA, \\ 1, & x \geq nA. \end{cases}$$

IV. b) Dichte und Verteilung von Y_n

Per Induktion können wir die Verteilungsfunktion F_n zu Y_n bestimmen:

$$F_1(x) = P(X_1 \leq x) = \int_0^x \frac{1}{A} dx_1 = \frac{x}{A} \quad (0 \leq x \leq A),$$

$$\begin{aligned} F_2(x) &= P(X_1 \cdot X_2 \leq x) = \int_0^A \int_0^{\min(A, x/x_1)} \frac{dx_2}{A} \frac{dx_1}{A} = \int_0^A \frac{\min(A, x/x_1)}{A^2} dx_1 \\ &= \int_0^{x/A} \frac{dx_1}{A} + \int_{x/A}^A \frac{x/x_1}{A^2} dx_1 = \frac{x}{A^2} (1 + (2 \ln A - \ln x)) \quad (0 \leq x \leq A^2). \end{aligned}$$

Schluss von n auf $n+1$ mittels analoger Umformung ergibt:

$$F_n(x) := F_{Y_n}(x) = P(X_1 X_2 \dots X_n \leq x) = \frac{x}{A^n} \sum_{k=0}^{n-1} \frac{(n \ln A - \ln x)^k}{k!} \quad (0 \leq x \leq A^n)$$

Und zwar

$$\begin{aligned} P(X_1 \dots X_n \cdot X_{n+1} \leq x) &= \int_0^A P\left(X_1 \dots X_n \leq \min\left(A^n, \frac{x}{x_{n+1}}\right)\right) \frac{dx_{n+1}}{A} \\ &= \int_0^{x/A^n} P(X_1 \dots X_n \leq A^n) \frac{dx_{n+1}}{A} + \int_{x/A^n}^A P\left(X_1 \dots X_n \leq \frac{x}{x_{n+1}}\right) \frac{dx_{n+1}}{A} \\ &= \frac{x}{A^{n+1}} + \int_{x/A^n}^A \frac{x}{A^n \cdot x_{n+1}} \cdot \sum_{k=0}^{n-1} \frac{(n \ln A - \ln x + \ln x_{n+1})^k}{k!} \frac{dx_{n+1}}{A} \\ &= \frac{x}{A^{n+1}} + \frac{x}{A^{n+1}} \cdot \sum_{k=0}^{n-1} \frac{(n \ln A - \ln x + \ln x_{n+1})^{k+1}}{(k+1)!} \Bigg|_{x_{n+1}=x/A^n}^A \\ &= \frac{x}{A^{n+1}} + \frac{x}{A^{n+1}} \cdot \sum_{k=1}^n \frac{((n+1) \ln A - \ln x)^k}{k!}. \end{aligned}$$

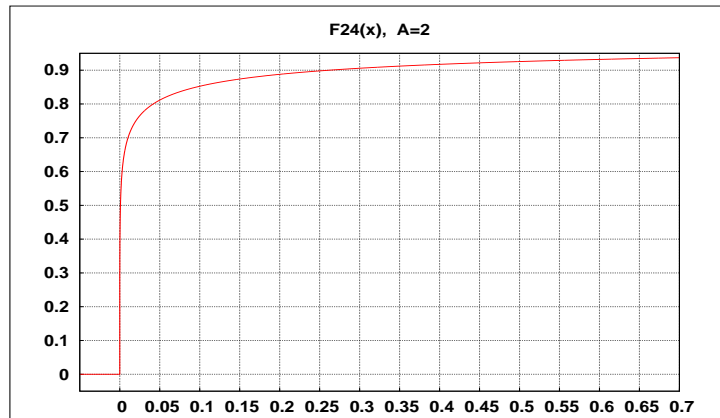
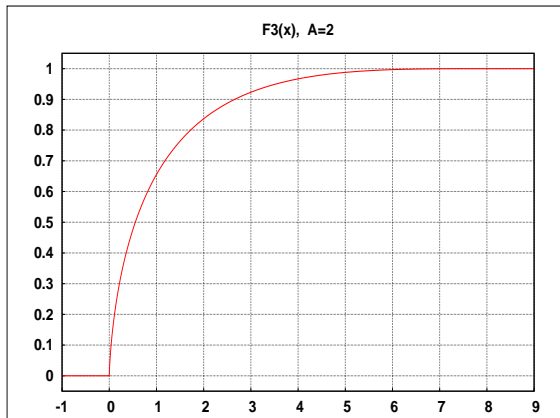
Mit der gemeinsamen Dichte $f(x_1, \dots, x_n) = 1/A^n$ ($0 \leq x_1, \dots, x_n \leq A$) des Zufallsvektors (X_1, \dots, X_n) ist es praktisch eine reine *Volumenberechnung*.

Durch Ableiten erhalten wir die zugehörigen Dichten f_n :

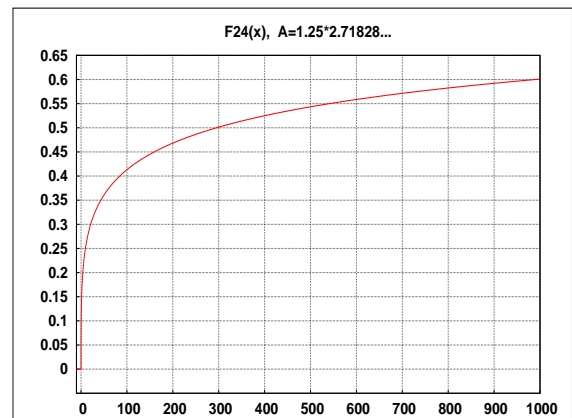
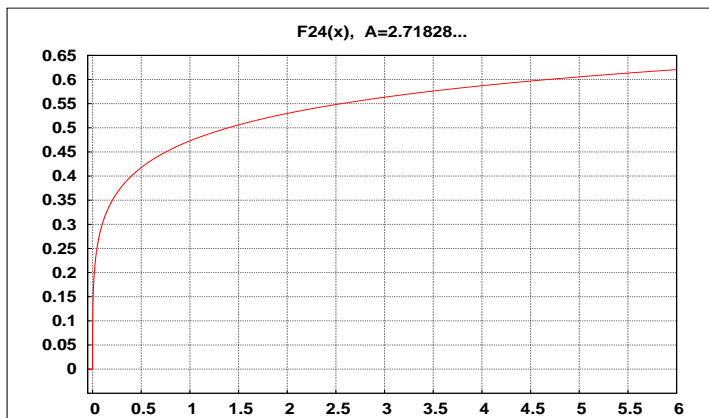
$$f_n(x) := f_{Y_n}(x) = \frac{(n \ln A - \ln x)^{n-1}}{A^n \cdot (n-1)!} \quad (0 < x < A^n)$$

Man beachte, dass F_n durch den Faktor x stetig, f_n aber bei 0 *unbeschränkt* ist.

Die folgenden Plots verdeutlichen, wie *klein* im Falle $A = 2$ die meisten Produkte mit wachsendem n ausfallen; links F_n für $n = 3$, rechts für $n = 24$.



Die nächsten Grafiken zeigen die Fälle $A = e$ und $A = 1.25e$; man sieht den *großen* Unterschied zwischen beiden schon für $n = 24$.



Die allgemeine Formel für den *Erwartungswert des Produktes* zweier Zufallsgrößen lautet

$$E(XY) = E(X) E(Y) + E\left((X - E(X))(Y - E(Y))\right);$$

im Falle *unabhängiger* Größen fällt der Kovarianz-Term weg. Der Beweis beruht auf der Identität $AB - ab = (A - a)b + a(B - b) + (A - a)(B - b)$ sowie der allgemeinen Additivität des Erwartungswerts.

Durch analoge elementare, wenn auch etwas umfangreichere Manipulationen erhält man eine Formel für die Varianz des Produktes, wobei $\text{Cov}(X, Y) := E\left((X - E(X))(Y - E(Y))\right)$ als

Notation für Kovarianzen benutzt wird:

$$\begin{aligned} \text{Var}(XY) = & \text{Var}(X) \text{Var}(Y) + \mathbf{E}(X)^2 \text{Var}(Y) + \mathbf{E}(Y)^2 \text{Var}(X) \\ & + \text{Cov}(X^2, Y^2) - \text{Cov}(X, Y)(2\mathbf{E}(X) \mathbf{E}(Y) + \text{Cov}(X, Y)) \end{aligned}$$

Bei *unabhängigen* Zufallsgrößen (genauer gesagt: wenn sowohl X und Y als auch X^2 und Y^2 *unkorreliert* sind) vereinfacht sich die Varianz-Formel wesentlich durch Wegfall aller Kovarianzterme.

Die Anwendung dieser Formeln auf die Zufallsgrößen Y_n ergibt einerseits offenbar $\mathbf{E}(Y_n) = \left(\frac{A}{2}\right)^n$ und per Induktion $\text{Var}(Y_n) = A^{2n} \left(\left(\frac{1}{3}\right)^n - \left(\frac{1}{4}\right)^n \right)$; die Standardabweichung ist also

$$\sigma(Y_n) = \left(\frac{A}{\sqrt{3}}\right)^n \sqrt{1 - \left(\frac{3}{4}\right)^n}.$$

Die allgemeine Varianz-Formel habe ich – seltsamerweise, da ihre Herleitung nicht schwer ist – nicht in der Literatur gefunden. Vgl. z.B. H. Rinne, *Taschenbuch der Statistik*, 3. Auflage, Harri Deutsch 2003, S. 222, wo nur eine „Näherungsformel“ angegeben ist.

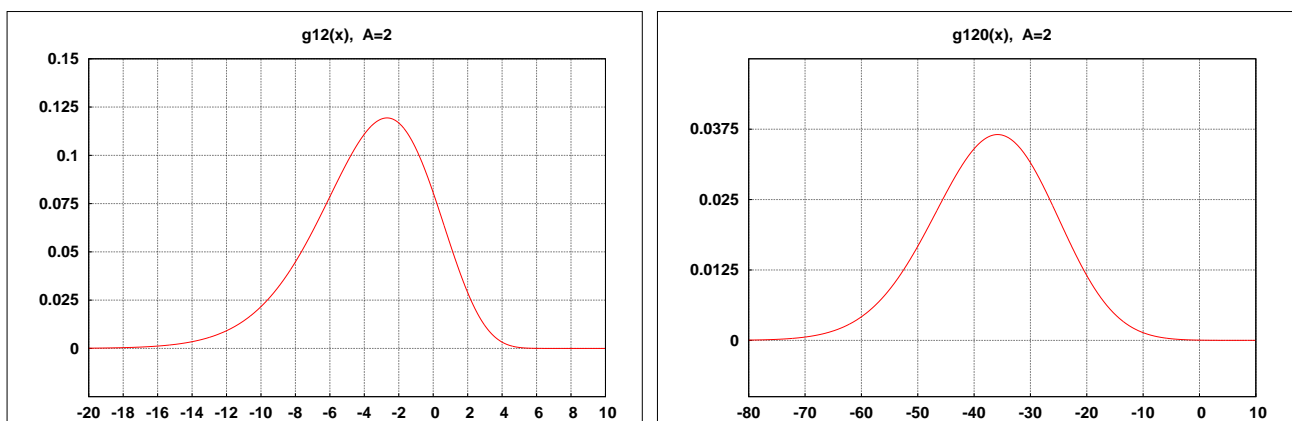
IV. c) Die Verteilung von $L_n := \ln Y_n = \ln X_1 + \dots + \ln X_n$

Diese ergibt sich leicht aus der von Y_n und umgekehrt:

$$G_n(x) := P(L_n \leq x) = P(Y_n \leq e^x) = \frac{e^x}{A^n} \sum_{k=0}^{n-1} \frac{(n \ln A - x)^k}{k!} \quad (0 < e^x < A^n),$$

und die Dichte, also die Ableitung, ist $g_n(x) = \frac{e^x (n \ln A - x)^{n-1}}{A^n (n-1)!}$ ($-\infty < x < n \ln A$).

Plots zeigen, dass die Dichten g_n wirklich annähernd normalverteilt aussehen, für kleinere n natürlich noch unvollkommen; links $n = 12$, rechts $n = 120$, $A = 2$:



Man kann die Dichten g_n auch *unmittelbar*, unabhängig von F_n , über *Fourierintegrale* bestimmen:

Ist f_X die Dichte einer stetigen Zufallsgröße X , ist

$$\varphi_X(t) := \int_{-\infty}^{\infty} e^{itx} f_X(x) dx = \mathbf{E}(e^{itX})$$

die *charakteristische Funktion* von X . Im Allgemeinfall $\varphi_X(t) := \int_{-\infty}^{\infty} e^{itx} dF_X(x)$. Per Fourier-Umkehrtheorem sind dann auch f_X und die Verteilungsfunktion F_X durch φ_X darstellbar, falls φ_X absolut integrierbar:

$$f_X(x) = \frac{1}{2\pi} \int_{-\infty}^{\infty} e^{-itx} \varphi_X(t) dt.$$

Allgemeinere Umkehraussagen hinsichtlich der *Verteilungsfunktion* findet man z.B. bei H. Cramér, *Mathematical Methods of Statistics*, Princeton 1946, ¹⁹1999.

Da die Dichte einer unabhängigen Summe $X + Y$ durch die Faltung der Dichten f_X und f_Y gegeben ist, gilt gemäß dem Fourier-Faltungssatz die *Produktformel*

$$\varphi_{X+Y}(t) = \varphi_X(t) \cdot \varphi_Y(t).$$

Mit $\varphi_{L_1}(t) = \int_{-\infty}^{\infty} e^{itx} g_1(x) dx = \int_{-\infty}^{\ln A} e^{itx} \frac{e^x}{A} dx = \frac{e^{it \ln A}}{1 + it}$ und der Produktformel folgt $\varphi_{L_n}(t) = \left(\frac{e^{it \ln A}}{1 + it} \right)^n$ und daher für $n \geq 2$ (als *uneigentliches* Integral auch für $n = 1$)

$$g_n(x) = \frac{1}{2\pi} \int_{-\infty}^{\infty} e^{-itx} \left(\frac{e^{it \ln A}}{1 + it} \right)^n dt = \frac{1}{2\pi} \int_{-\infty}^{\infty} \frac{e^{it(n \ln A - x)}}{(1 + it)^n} dt.$$

Mit dem Residuensatz erhalten wir für $x \leq n \ln A$

$$g_n(x) = \frac{1}{2\pi} \cdot 2\pi i \operatorname{Res}_{z=i} \frac{e^{iz(n \ln A - x)}}{(1 + iz)^n} = \frac{i}{(n-1)!} \frac{d^{n-1}}{dz^{n-1}} \left(\frac{(z-i)^n}{(1+iz)^n} e^{iz(n \ln A - x)} \right) \Big|_{z=i} = \frac{e^{x(n \ln A - x)} n^{n-1}}{A^n (n-1)!}$$

Da im Falle $x > n \ln A$ über einen Halbkreisbogen in der *unteren* Halbebene zu integrieren ist (Lemma von Jordan), folgt $g_n(x) = 0$ für diese x .

Die Varianz von $\ln Y_n$:

$$\operatorname{Var}(\ln Y_1) = \int_{-\infty}^{\ln A} x^2 g_1(x) dx - (\mathbb{E}(\ln Y_1))^2 = \int_{-\infty}^{\ln A} x^2 \frac{e^x}{A} dx - (\ln A - 1)^2 = 1,$$

folglich $\operatorname{Var}(\ln Y_n) = n$ wegen Unabhängigkeit der Summanden $\ln X_i$.

Wir analysieren die auf $\mu = 0$, $\sigma = 1$ *umskalierten* (standardisierten) Größen

$\tilde{L}_n := \frac{\ln Y_n - n(\ln A - 1)}{\sqrt{n}}$ und ihre Dichten $\tilde{g}_n(x) = \frac{1}{a} g_n\left(\frac{x-b}{a}\right)$ mit $a = \frac{1}{\sqrt{n}}$ und $b = -\sqrt{n}(\ln A - 1)$. Also folgt

$$\tilde{g}_n(x) = \sqrt{n} g_n(x\sqrt{n} + n(\ln A - 1)) = \sqrt{n} \frac{e^{x\sqrt{n} + n(\ln A - 1)} (n - x\sqrt{n})^{n-1}}{A^n (n-1)!} = \frac{\sqrt{n} n^n}{n! e^n} e^{x\sqrt{n}} \left(1 - \frac{x\sqrt{n}}{n}\right)^{n-1}.$$

Mit der Formel von *de Moivre* und *Stirling*, also $n! = \sqrt{2\pi n} \left(\frac{n}{e}\right)^n e^{1/(12n+\epsilon_n)}$ mit $\epsilon_n \rightarrow 0$ für $n \rightarrow \infty$ (und $0 < \epsilon_n < 1$ ($n \in \mathbb{N}$), $\epsilon_n < 0.1$ ($n \geq 4$)), ergibt sich

$\tilde{g}_n(x) = \frac{1}{\sqrt{2\pi}} e^{-1/(12n+\epsilon_n) + x\sqrt{n} + (n-1) \ln(1-x/\sqrt{n})}$. Es gilt

$$(n-1) \ln(1-x/\sqrt{n}) = -(n-1) \left(\frac{x}{\sqrt{n}} + \frac{x^2}{2n} + \frac{x^3}{3n\sqrt{n}} + \dots \right) = -x\sqrt{n} + \frac{x}{\sqrt{n}} - \frac{x^2}{2} + \frac{x^2}{2n} + \frac{(1-n)x^3}{3n\sqrt{n}} + \dots$$

und damit für $|x| \leq c$ mit festem $c > 0$

$$\tilde{g}_n(x) = \frac{1}{\sqrt{2\pi}} e^{-x^2/2 + o(1/\sqrt{n})} \quad (n \rightarrow \infty).$$

Ein *leicht* durchzurechnender Spezialfall des *zentralen Grenzwertsatzes*, analog zum klassischen Satz von de Moivre und Laplace, bei dem die Umformungen aber etwas verwickelter sind. (Genau um diesen Satz zu beweisen, stellte ja auch Abraham de Moivre die ‘‘Stirling-sche Formel’’, auf, bei der Stirling nur den konstanten Faktor mittels des Wallis-Produktes bestimmte.)

Die anfangs formulierte Ad-hoc-Erklärung des den Studenten verblüffenden Phänomens ist damit analytisch untermauert.

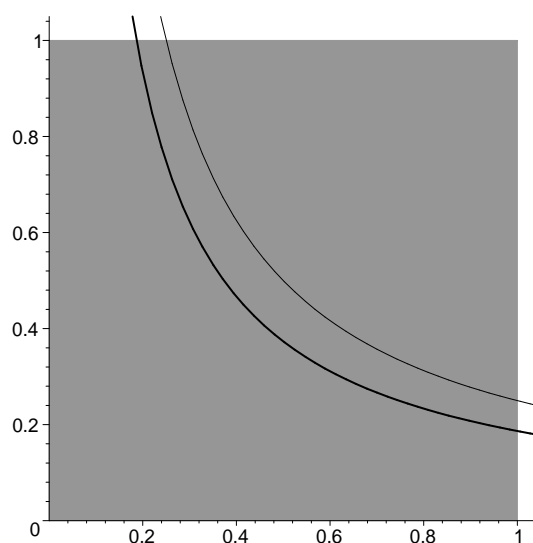
IV. d) Nährungsweise Berechnung des Median

Ausgangspunkt war die Diskrepanz zwischen Erwartungswert und *Median* bei den Produkten. Daher geht es nun darum, letzteren analytisch darzustellen. Was sich als nicht ganz einfach erweisen wird.

Wir diskutieren zunächst die beiden einfachsten Fälle $n = 2$ und $n = 3$.

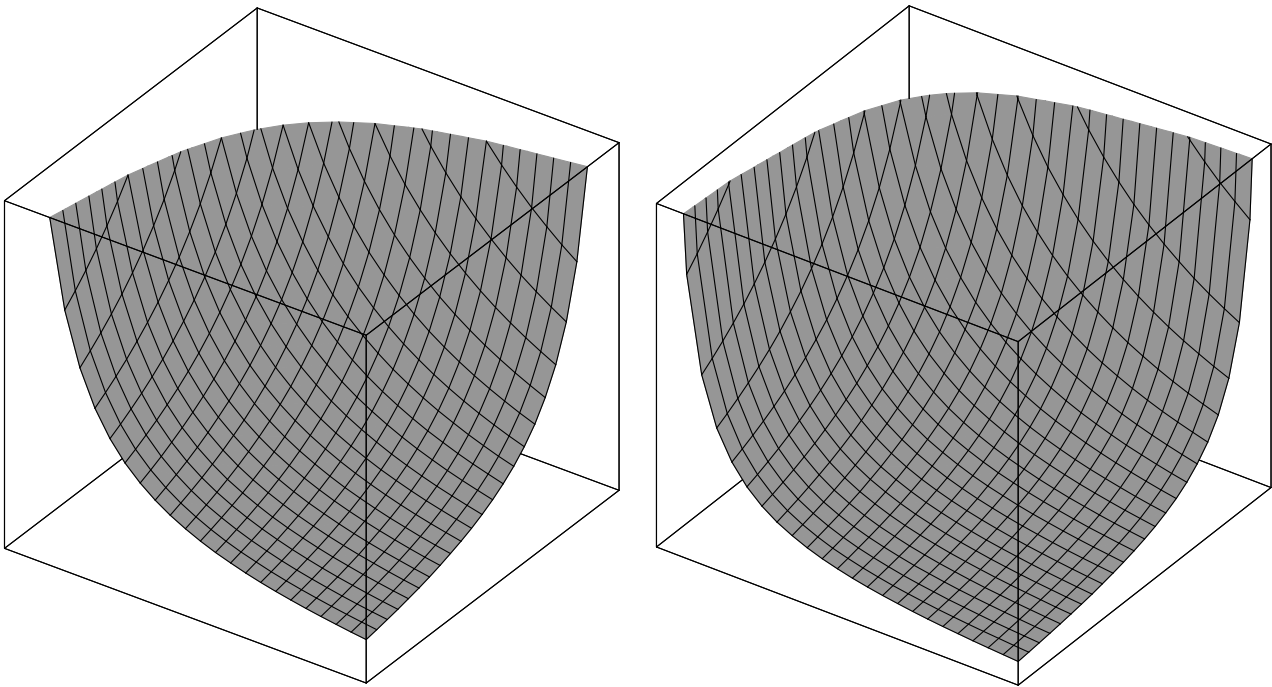
Der Median des Produktes zweier Zufallszahlen aus $(0, A]$ ist charakterisiert als der Wert $c > 0$, für den die Hyperbel $x_1 x_2 = c$ das Quadrat $0 \leq x_1, x_2 \leq A$ halbiert. Es ergibt sich $A^2/2 = c(1 + 2 \ln A - \ln c)$, also mit $\tilde{c} := c/A^2$: $1/2 = \tilde{c}(1 - \ln \tilde{c})$. Dabei $0 < \tilde{c} < 1$, da ja offenbar $0 < c < A^2$; genauer folgt $\tilde{c} < 1/2$. Folglich $\tilde{c} = \frac{-1/2}{W_u(-1/2e)}$, wobei $W_u(x)$ den *unteren* Zweig der *Lambertschen W-Funktion* bezeichne, der Umkehrung von $f(x) = x e^x$, definiert für $x \geq -1/e$. Der untere Zweig existiert nur für $-1/e \leq x < 0$, der obere Zweig $W(x)$ für alle $x \geq -1/e$. Es ergibt sich $W_u(-1/2e) = -2.678346990\dots$ und $\tilde{c} = 0.18668230\dots$

Ein Plot, bei dem die kräftigere Hyperbel den Median kennzeichnet und das Quadrat halbiert, während die schwächere den Erwartungswert repräsentiert:



Analog der Median bei drei Faktoren: Wir bestimmen den Wert c , für welchen die Fläche $x_1 x_2 x_3 = c$ das Volumen des Würfels $0 \leq x_1, x_2, x_3 \leq A$ in zwei gleichgroße Hälften zerlegt.

Das ergibt $c \approx 0.0689716A^3$, wobei $\tilde{c} := c/A^3$ der Gleichung $1/2 = \tilde{c}(1 - \ln \tilde{c} + (\ln \tilde{c})^2/2)$ genügt. Die grafische Veranschaulichung:



Die Erwartungswert-Fläche $x_1x_2x_3 = A^3/8$ (linke Grafik) trennt nur ein gutes Drittel des Würfel-Volumens ab.

Nun zum Allgemeinfeld. Zunächst gilt

$$P(\ln Y_n \leq n(\ln A - 1)) = \int_{-\infty}^0 \tilde{g}_n(x) dx = \int_{-\infty}^0 \frac{\sqrt{n} n^n}{n! e^n} e^{x\sqrt{n}} \left(1 - \frac{x\sqrt{n}}{n}\right)^{n-1} dx.$$

Indem wir die Reihenentwicklung des Logarithmus und die Stirlingsche Reihe heranziehen, erhalten wir nach *einigem* Nebenrechnungsaufwand

$$P(Y_n \leq (A/e)^n) = \frac{1}{2} - \frac{1}{\sqrt{2\pi n}} \left(\frac{1}{3} + \frac{1}{540n} - \frac{25}{6048n^2} - \frac{101}{155520n^3} \right) + \mathcal{O}\left(\frac{1}{n^{9/2}}\right).$$

Andererseits

$$\begin{aligned} P\left(\frac{A}{e} < X_n \leq \frac{A}{e}(1 + \varepsilon)\right) &= \int_{(A/e)^n}^{(A/e)^n(1+\varepsilon)} \frac{(n \ln A - \ln x)^{n-1}}{(n-1)! \cdot A^n} dx \\ &= \int_1^{1+\varepsilon} \frac{(n - \ln t)^{n-1}}{(n-1)! \cdot e^n} dt = \frac{(n/e)^n}{n!} \cdot \int_1^{1+\varepsilon} \left(1 - \frac{\ln t}{n}\right)^{n-1} dt. \end{aligned}$$

Nun ist ε so zu wählen, dass $\int_1^{1+\varepsilon} \left(1 - \frac{\ln t}{n}\right)^{n-1} dt$ möglichst genau mit

$$\frac{n!}{\sqrt{2\pi n} \cdot (n/e)^n} \left(\frac{1}{3} + \frac{1}{540n} - \frac{25}{6048n^2} - \frac{101}{155520n^3} \right) + \mathcal{O}\left(\frac{1}{n^4}\right) = \frac{1}{3} + \frac{4}{135n} - \frac{8}{2835n^2} - \frac{16}{8505n^3} + \dots$$

übereinstimmt.

So folgt $\ln(1+\varepsilon) = 1/3 + \ln(1+a/n)$, $a = -8/405 + b/n$, $b = -8056/1148175 + c/n$, usw.

Damit ist der Median M_n des Produkts Y_n von n unabhängigen auf $(0, A]$ gleichverteilten Zufallszahlen gegeben durch

$$M_n = \sqrt[3]{e} \left(\frac{A}{e} \right)^n \cdot \left(1 - \frac{8}{405 n} - \frac{8056}{1148175 n^2} + \mathcal{O}(n^{-3}) \right)$$

Fälle $n=2$ und $n=3$: Es gilt $\sqrt[3]{e} \left(\frac{A}{e} \right)^2 \approx 0.1888756A^2$ und $\sqrt[3]{e} \left(\frac{A}{e} \right)^3 \approx 0.06948345A^3$. Allein der *Hauptterm* stimmt also schon in diesen einfachsten Fällen recht gut mit den vorher angegebenen exakten Median-Werten überein.

IV. e) 50000 Produkte von je 500 Zufallszahlen

Ein größeres Testbeispiel zu Y_{500} , generiert mit dem Statistik-System R.

`> f1<-function(A,n) prod(runif(n,0,A))` definiert eine Funktion, die n gleichverteilte Zufallszahlen aus dem Intervall $(0, A]$ erzeugt und dann deren Produkt berechnet.

Mit `> f2<-function(A,n,r) {x<-numeric();for(k in 1:r) {x<-c(x,f1(A,n))};x}` und `> Y<-f2(exp(1),500,50000)` erzeugt man einen Datenvektor aus 50000 Produkten von jeweils 500 gleichverteilten Zufallszahlen aus dem Intervall $(0, e]$. Der R-Befehls „summary“ liefert einen Überblick:

```
> summary(Y)
      Min.   1st Qu.   Median     Mean   3rd Qu.    Max.
1.668e-41 3.592e-07 1.395e+00 2.727e+33 4.917e+06 7.136e+37
```

```
> L<-log(Y)
> summary(L)
      Min.   1st Qu.   Median     Mean   3rd Qu.    Max.
-93.89000 -14.84000   0.33270   0.05403 15.41000  87.16000
```

```
> hist(L,prob=TRUE);lines(density(L,bw=0.5),lwd=2)
```

